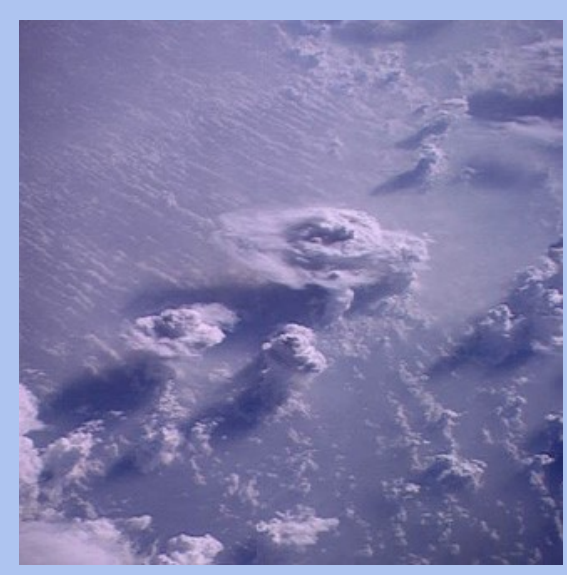
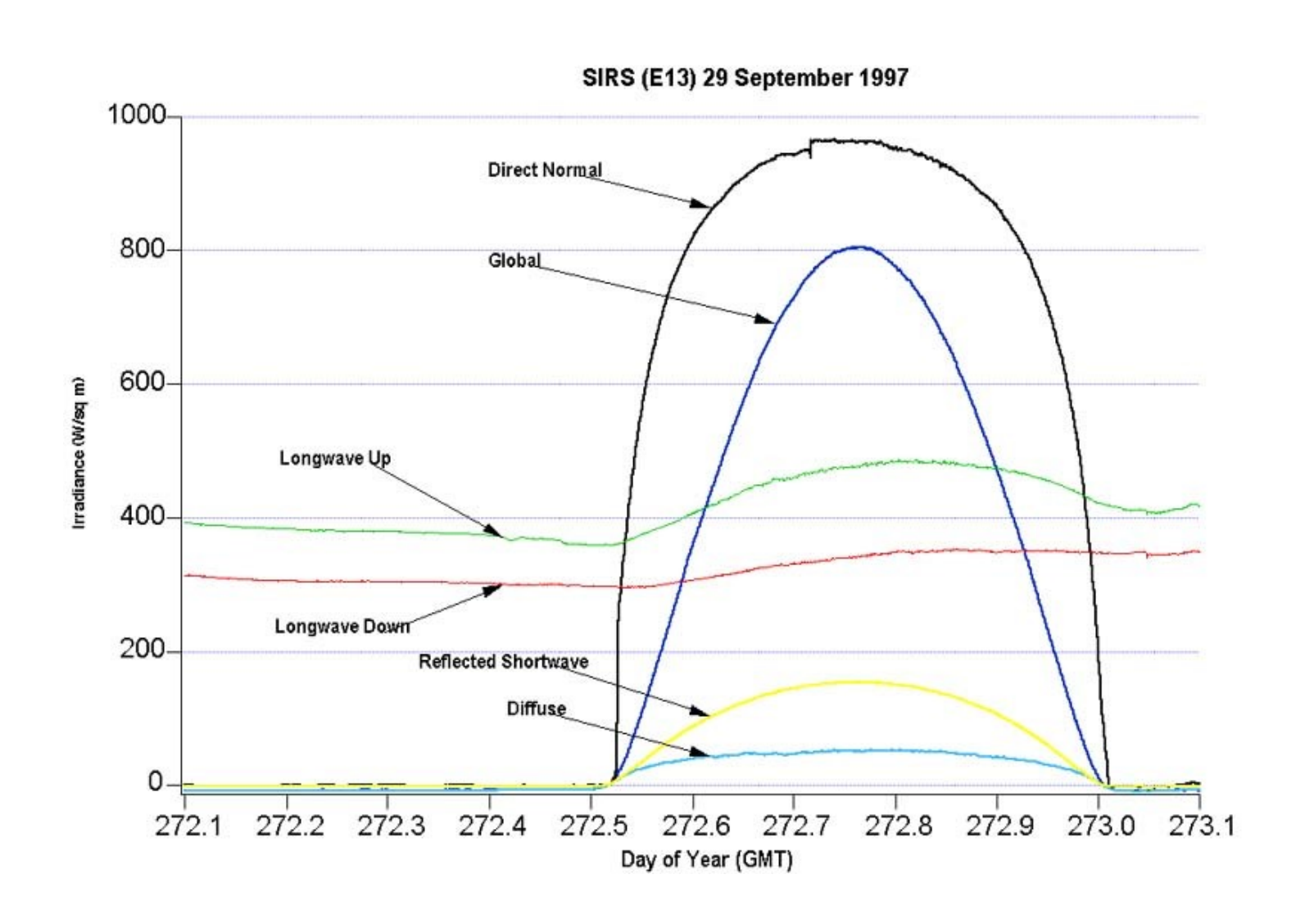
Interação entre Nuvens e Radiação



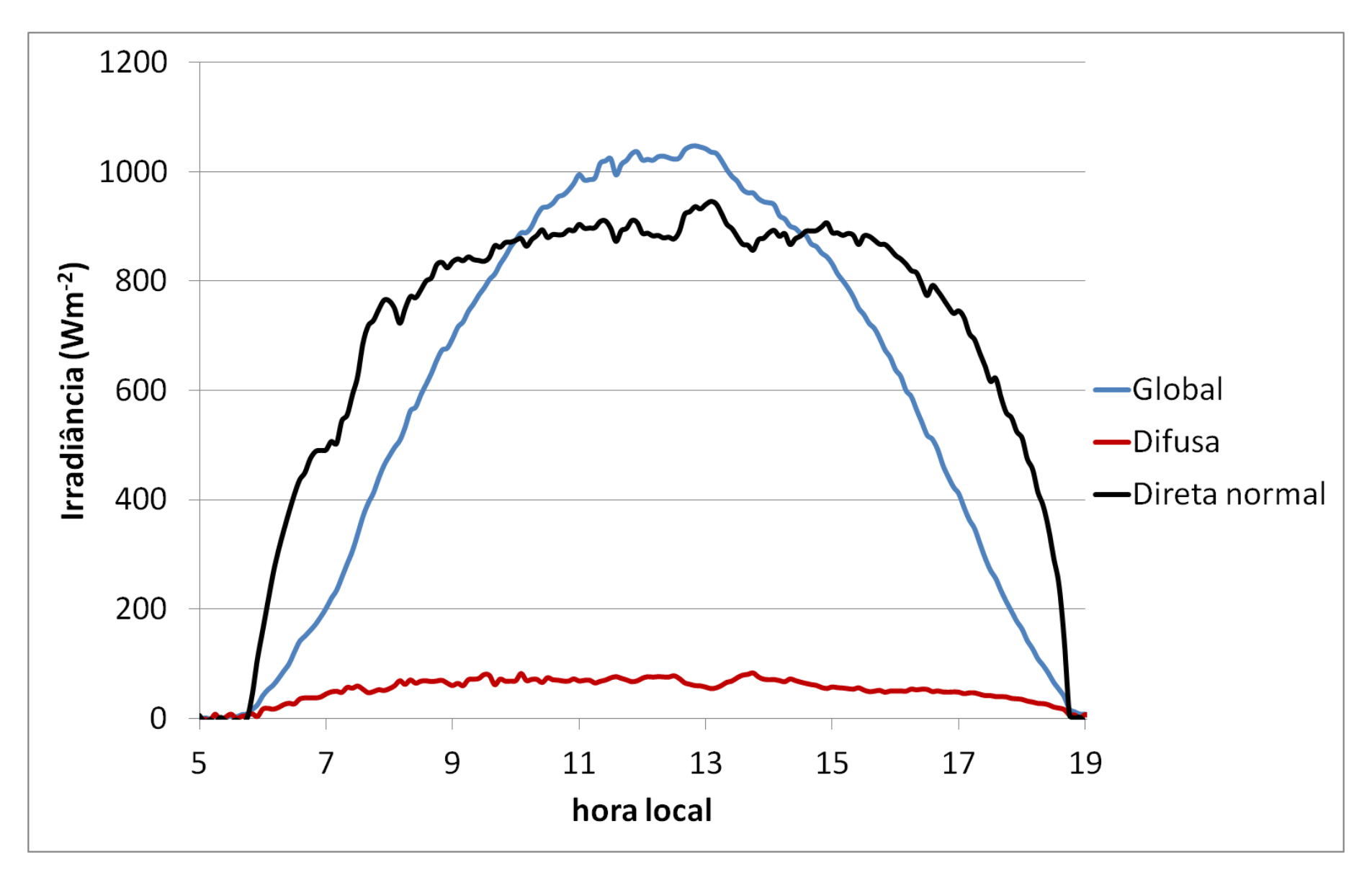




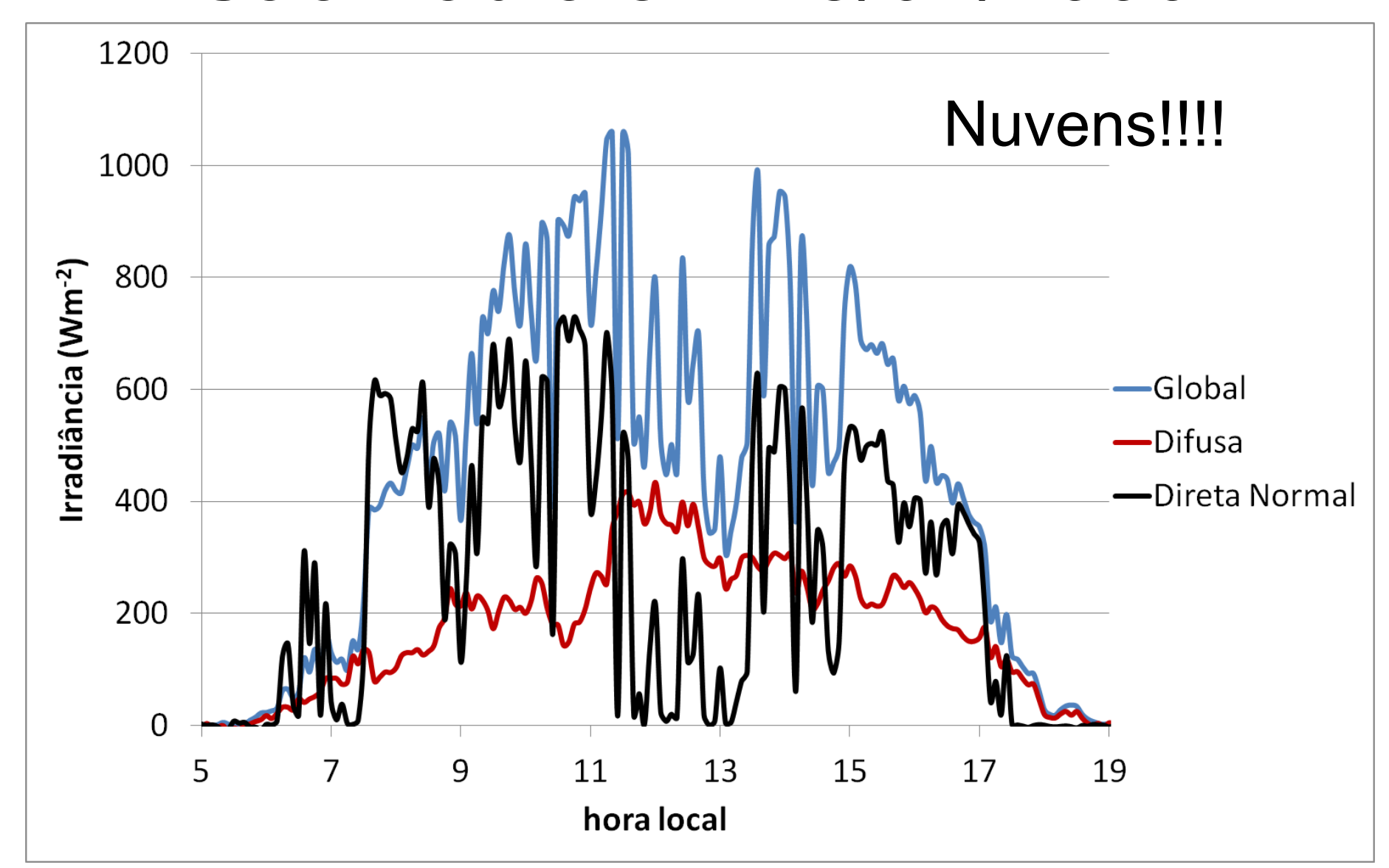
Em aula anterior...



São Paulo em 17/01/2006



São Paulo em 18/01/2006



Type	Size	Number
Gas molecule	$\sim 10^{-4} \mu \mathrm{m}$	$< 3 \times 10^{19} \text{ cm}$
Aerosol, Aitken	$< 0.1 \mu m$	$\sim 10^4 \text{ cm}^{-3}$
Aerosol, Large	$0.1-1 \mu m$	$\sim 10^2 \text{ cm}^{-3}$
Aerosol, Giant	>1 µm	$\sim 10^{-1} \text{ cm}^{-3}$
Cloud droplet	5-50 µm	$10^2 - 10^3 \text{ cm}^{-3}$
Drizzle drop	\sim 100 μ m	$\sim 10^3 \text{ m}^{-3}$
Ice crystal	$10-10^{2} \mu m$	$10^3 - 10^5 \text{ m}^{-3}$
Rain drop	0.1-3 mm	$10-10^3 \text{ m}^{-3}$
Graupel	0.1-3 mm	$1-10^2 \text{ m}^{-3}$
Hailstone	~1 cm	10^{-2} –1 m ⁻³
Insect	\sim 1 cm	$<1 \text{ m}^{-3}$
Bird	\sim 10 cm	$< 10^{-4} \text{ m}^{-3}$
Airplane	\sim 10 m	$<1 \mathrm{km}^{-3}$

Tabela 12.1 de G. W. Petty (2006)

Importância das nuvens

- Nuvens cobrem ~ 60% da superfície da Terra
- Refletem, absorvem e transmitem a radiação solar
- Refletem, absorvem e emitem radiação terrestre

Podem contribuir para aquecer ou resfriar o sistema Terra-atmosfera!

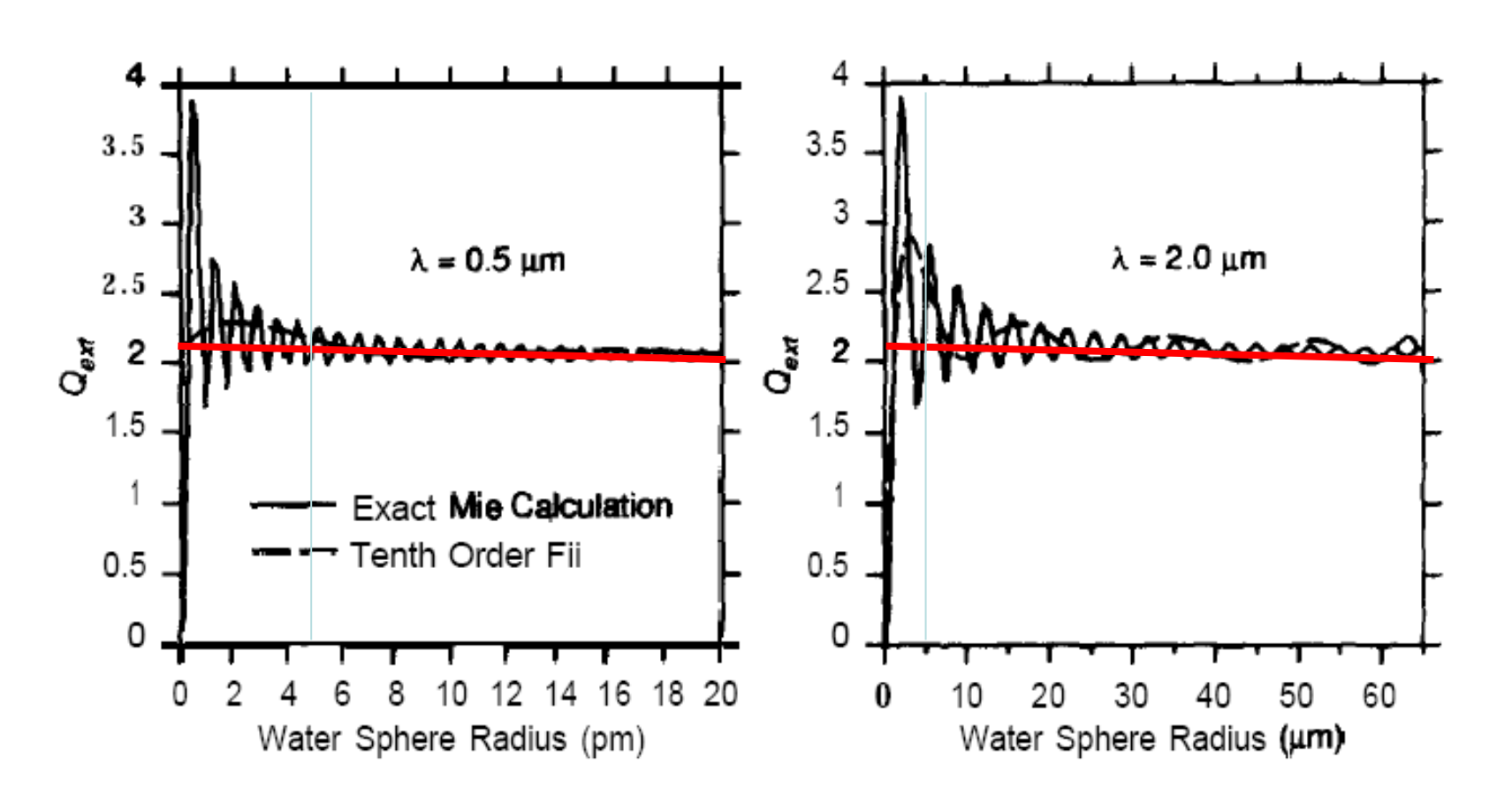
Nuvens

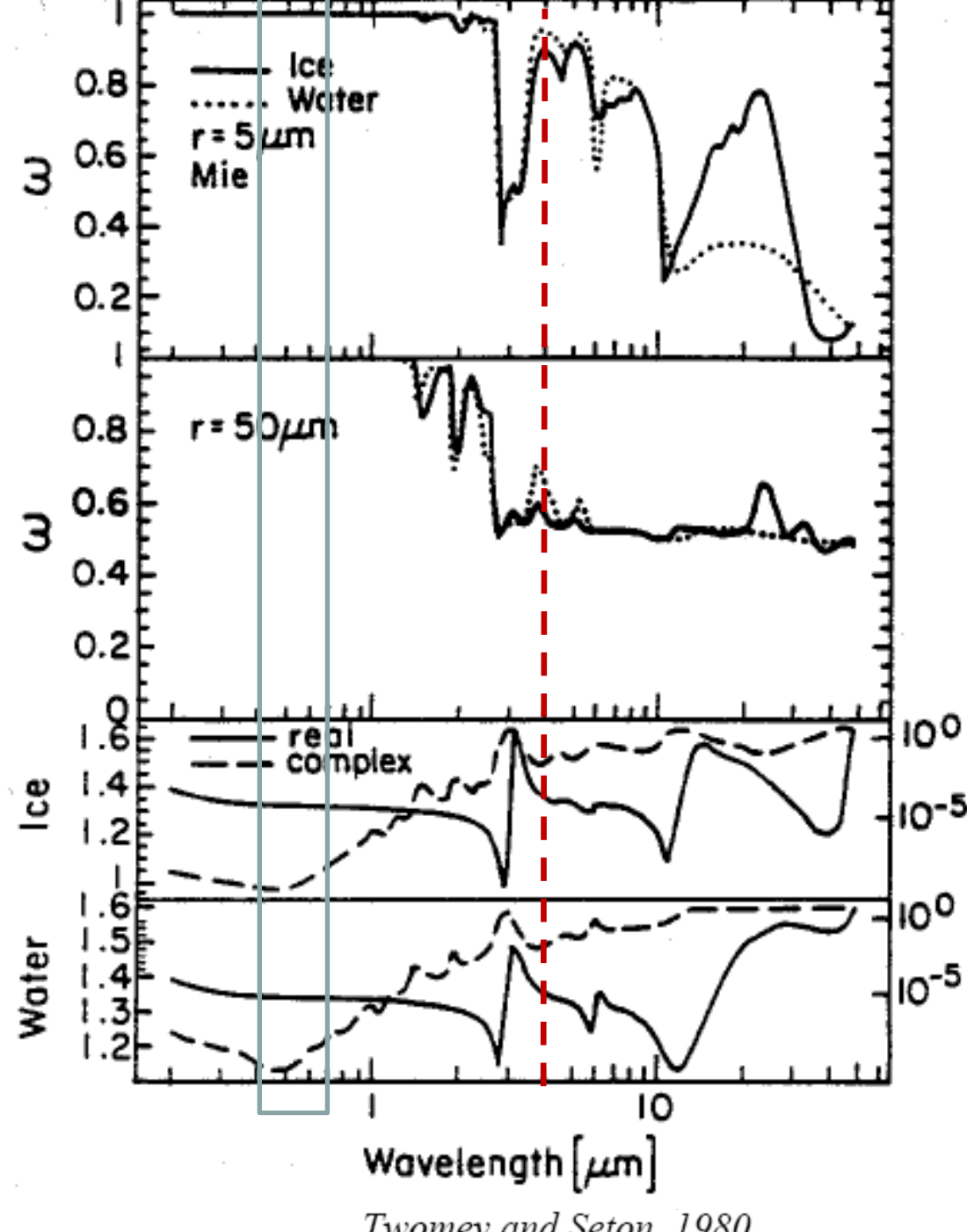
Nas regiões espectrais do visível e infravermelho próximo do espectro:

- as gotas de nuvens são espalhadores não seletivos espectralmente
- a eficiência de espalhamento é alta
- água líquida não absorve radiação no visível, portanto, as nuvens apresentam mínima absorção nessa região do espectro.
- No NIR a absorção aumenta devido ao aumento dos coeficientes de absorção tanto do vapor quanto da água líquida
- Em média, sobre o espectro solar, as nuvens espalham 74%, absorvem 10%, e transmitem 16% da radiação incidente.









Albedo simples para esferas de gelo e água com raio de 5µm e 50µm

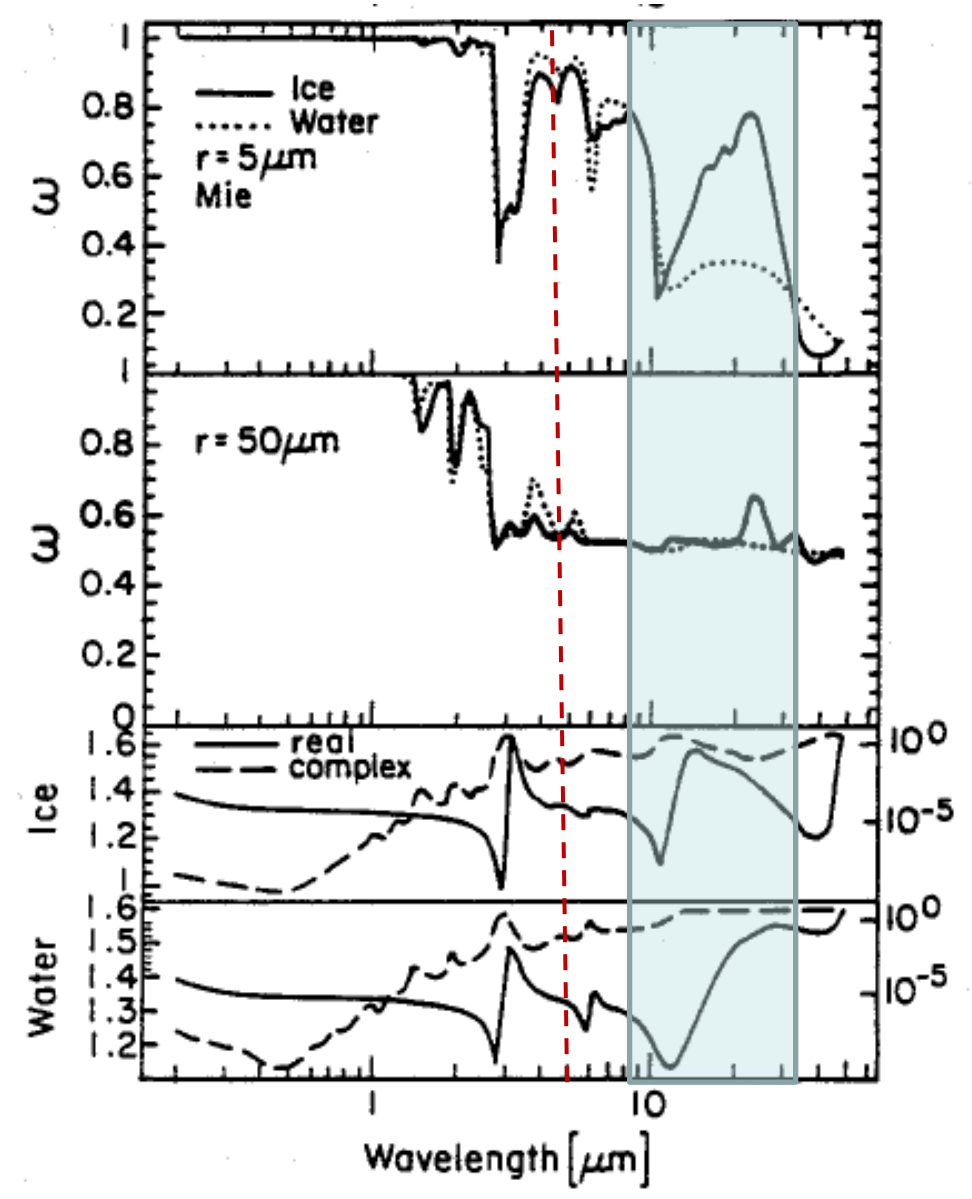
Índice de refração complexo para gelo e água



Twomey and Seton, 1980,

Nuvens

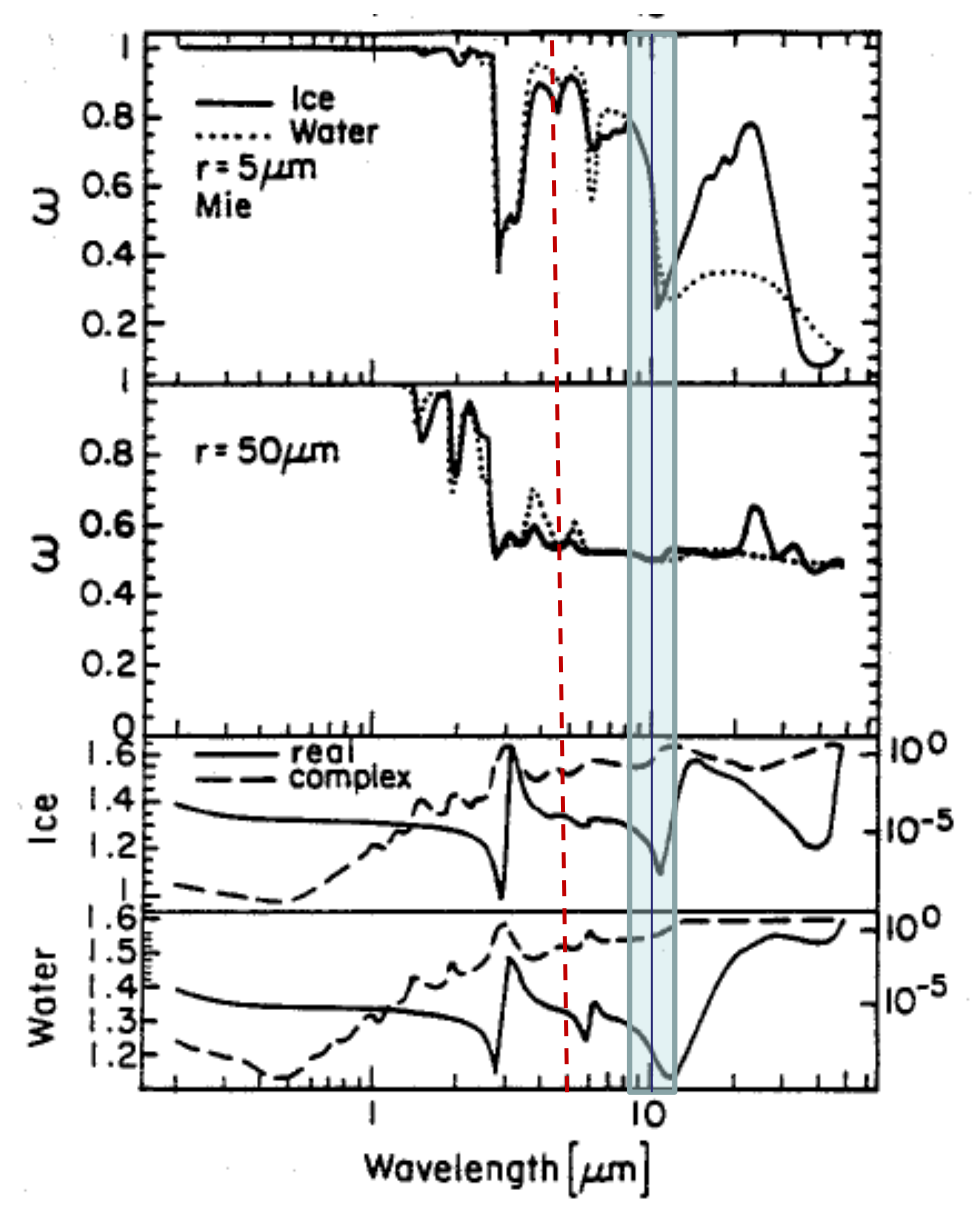
No infravermelho, propriedades ópticas apresentam maiores diferenças de acordo com o tamanho e fase da água.



Albedo simples para esferas de gelo e água com raio de 5µm e 50µm

Índice de refração complexo para gelo e água

Twomey and Seton, 1980,



Albedo simples para esferas de gelo e água com raio de 5µm e 50µm

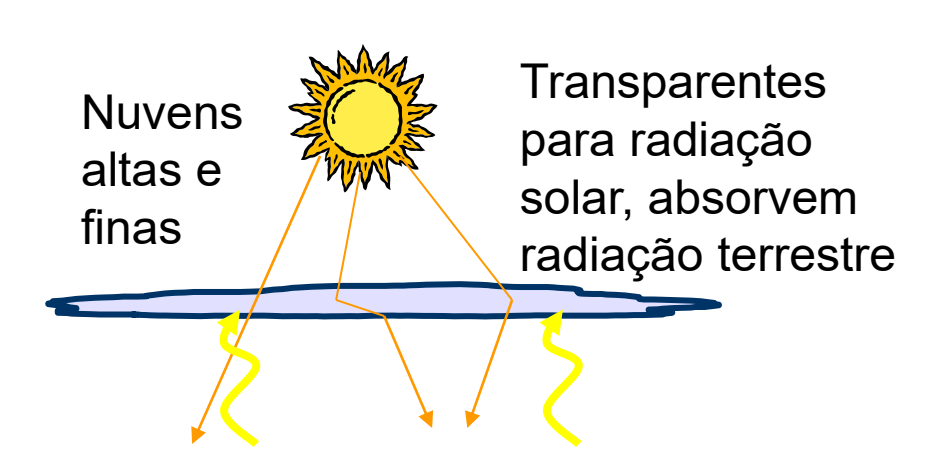
Índice de refração complexo para gelo e água

Twomey and Seton, 1980,

Nuvens

- · Nas microondas:
- O parâmetro de tamanho x ~ 0,01 para gotas de nuvens, portanto, ⇒ espalhamento Rayleigh
- baixa absorção (transmitância > 90%)
- partículas de gelo absorvem menos ainda
- gotas de chuva (> 100 µm) interagem fortemente com a radiação em microondas, portanto, a transmitância é menor para nuvens precipitantes.

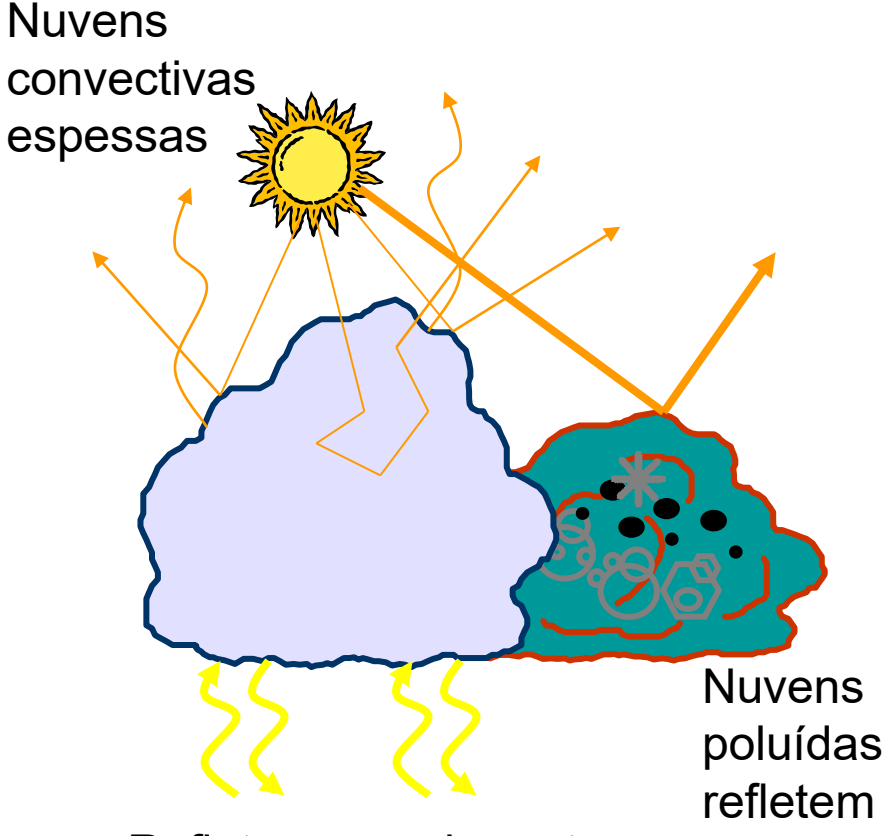
As nuvens e o balanço radiativo



Nuvens

baixas

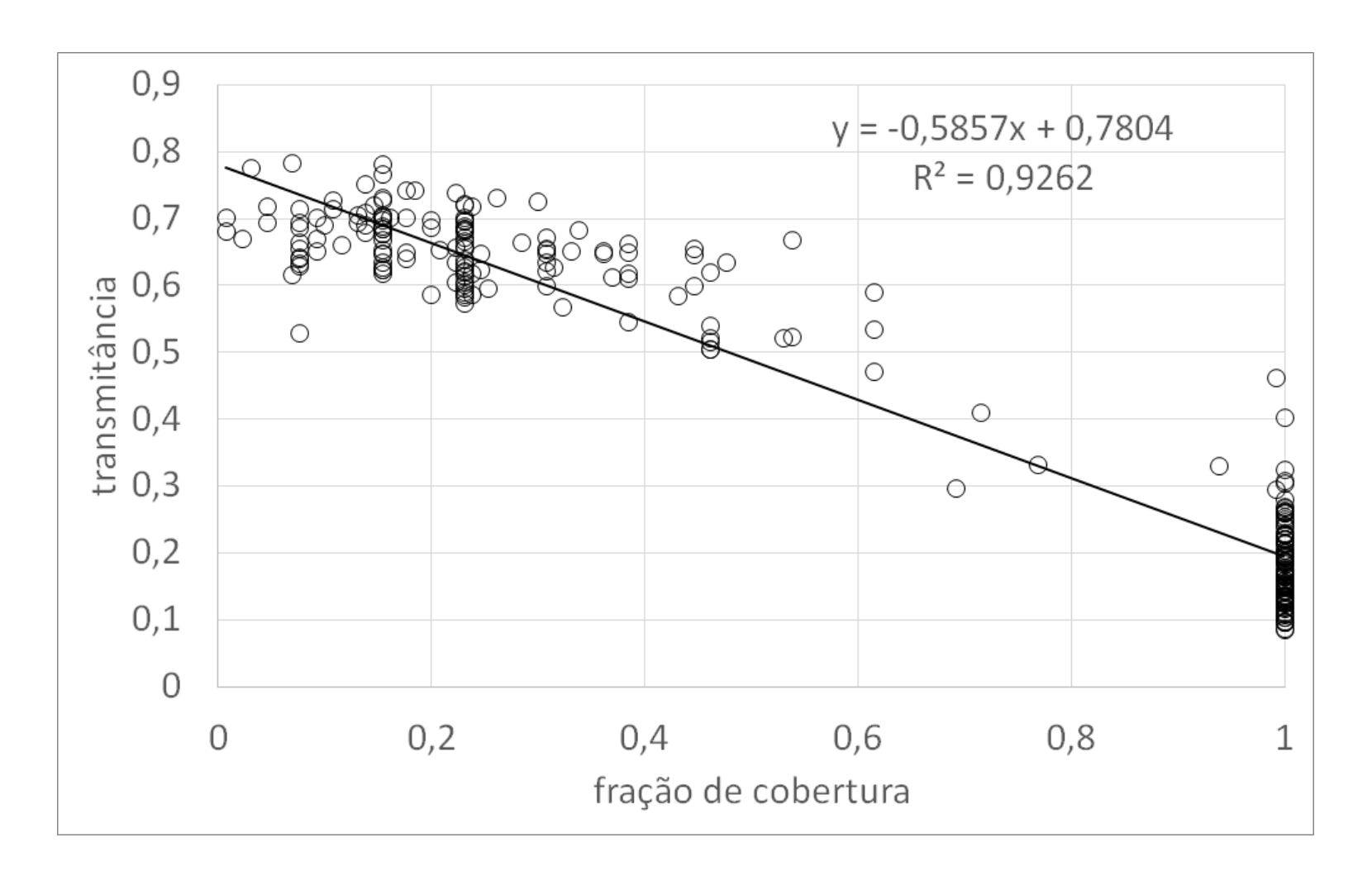
Alto albedo, refletem radiação solar e afetam pouco a radiação terrestre



Refletem grande parte da radiação solar, mas emitem pouca radiação de onda longa para o espaço mais radiação

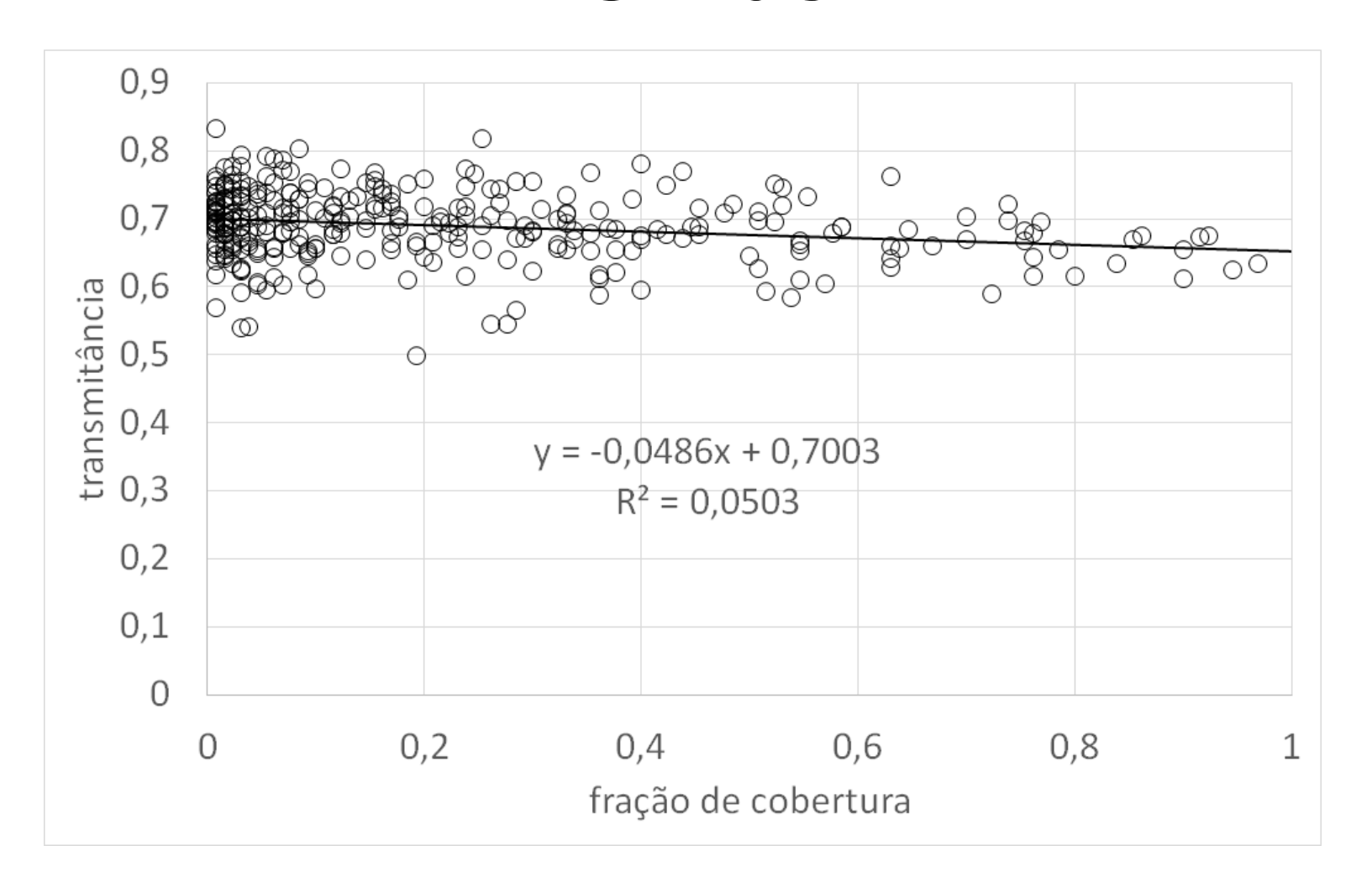
(Adaptado de Protat, 2005)

Stratus

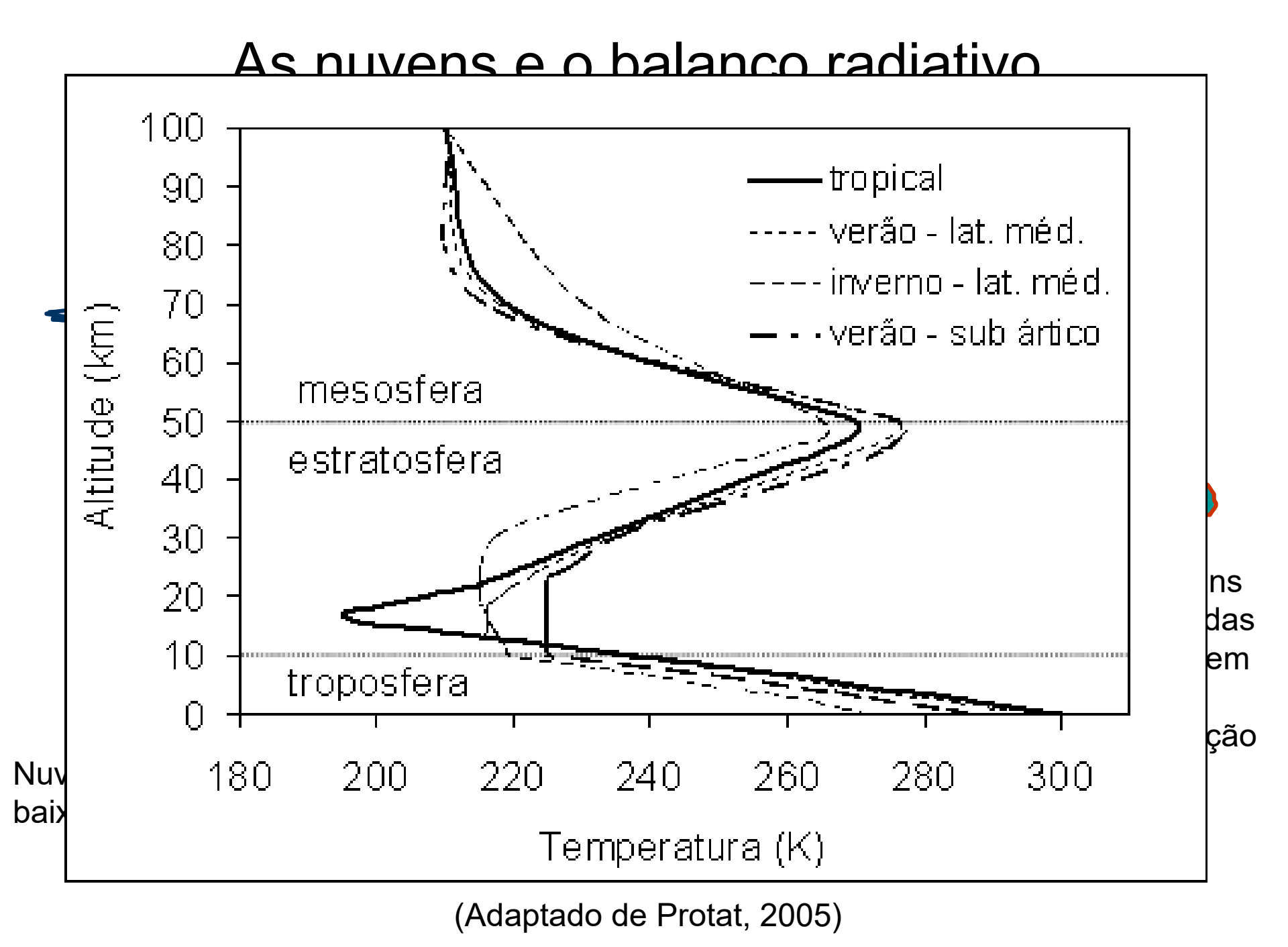


Henrique Yoshida (2020)

Cirrus



Henrique Yoshida (2020)

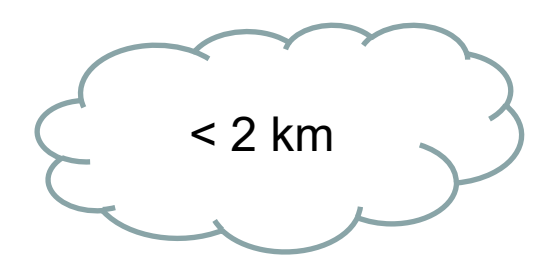


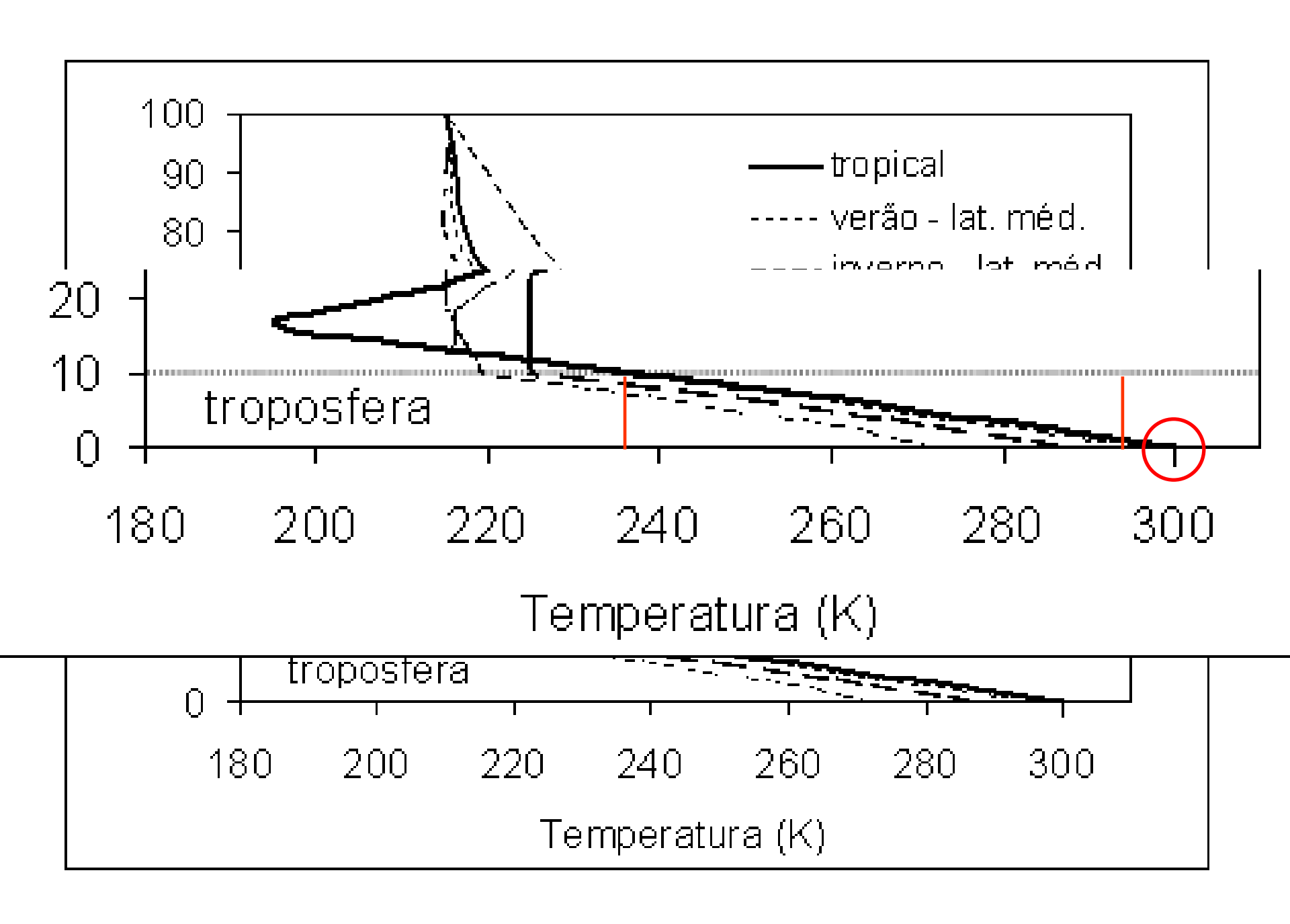
Nuvens baixas

Nuvens altas



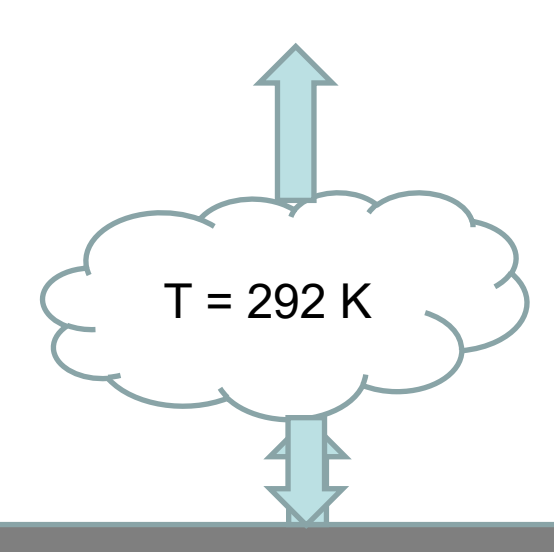
~ 10 km







Nuvens baixas



Espalhamento/absorção

- Distribuição de tamanho
- Índice de refração
- Conteúdo de água líquida e gelo
- + Teoria Mie (supondo que as gotas são esféricas):
- Albedo simples
- Função de fase
- Profundidade óptica

Absorção/emissão

Perfil vertical de temperatura, água e gelo

Distribuição de tamanho

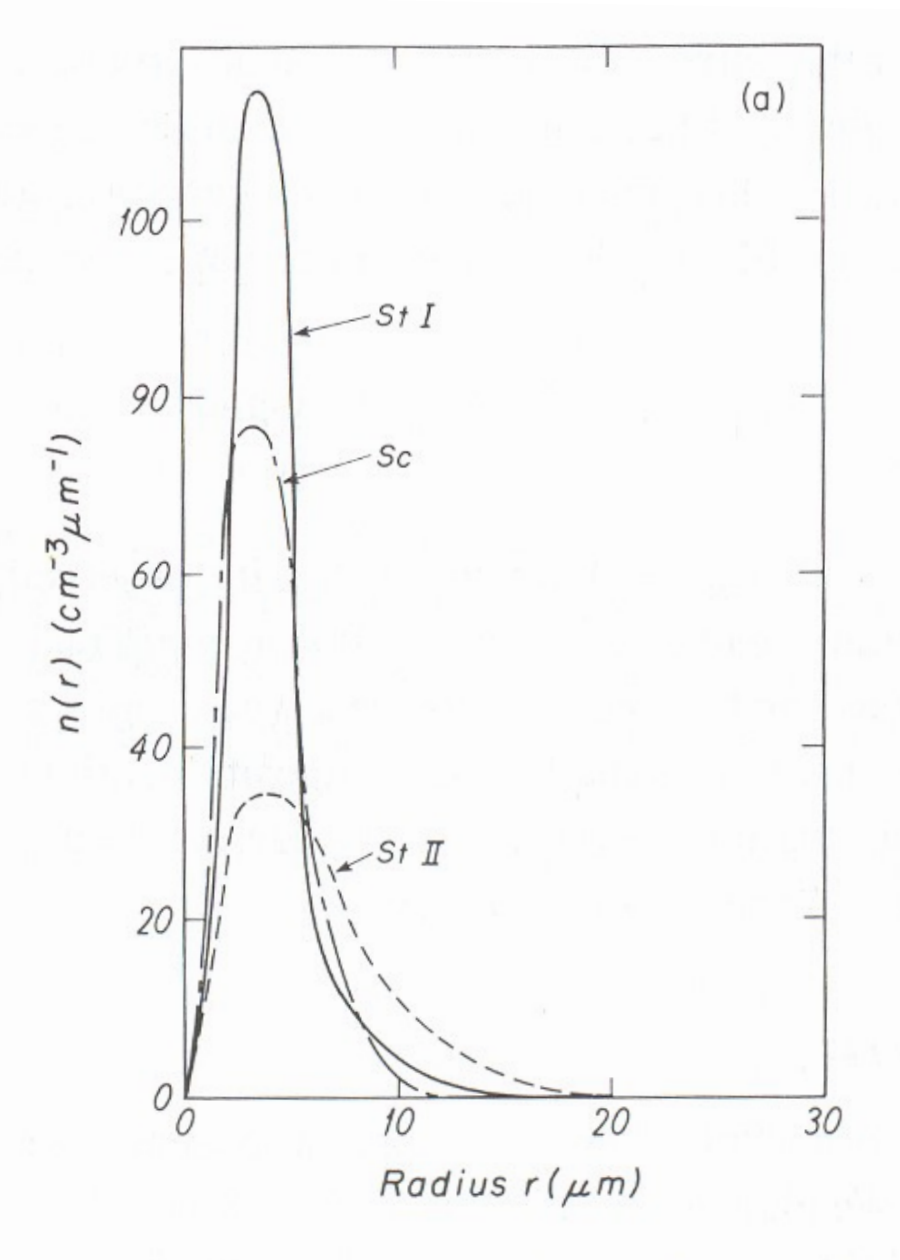


Fig. 4.10(a) Droplet size distributions of stratocumulus and stratus over land (St II) and (St I).

Liou, 1992

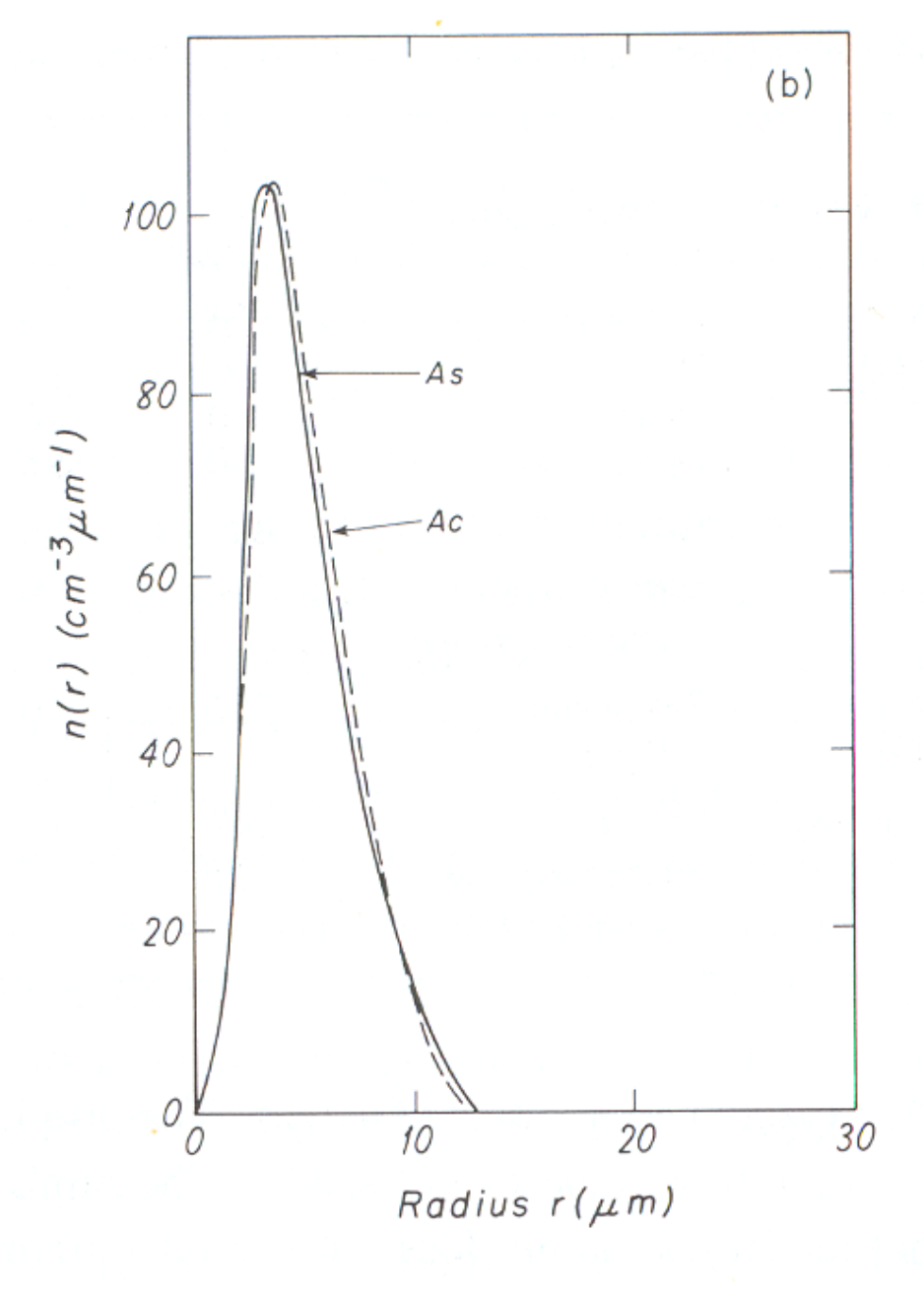


Fig. 4.10(b) Droplet size distributions of altostratus and altocumulus.

Liou, 1992

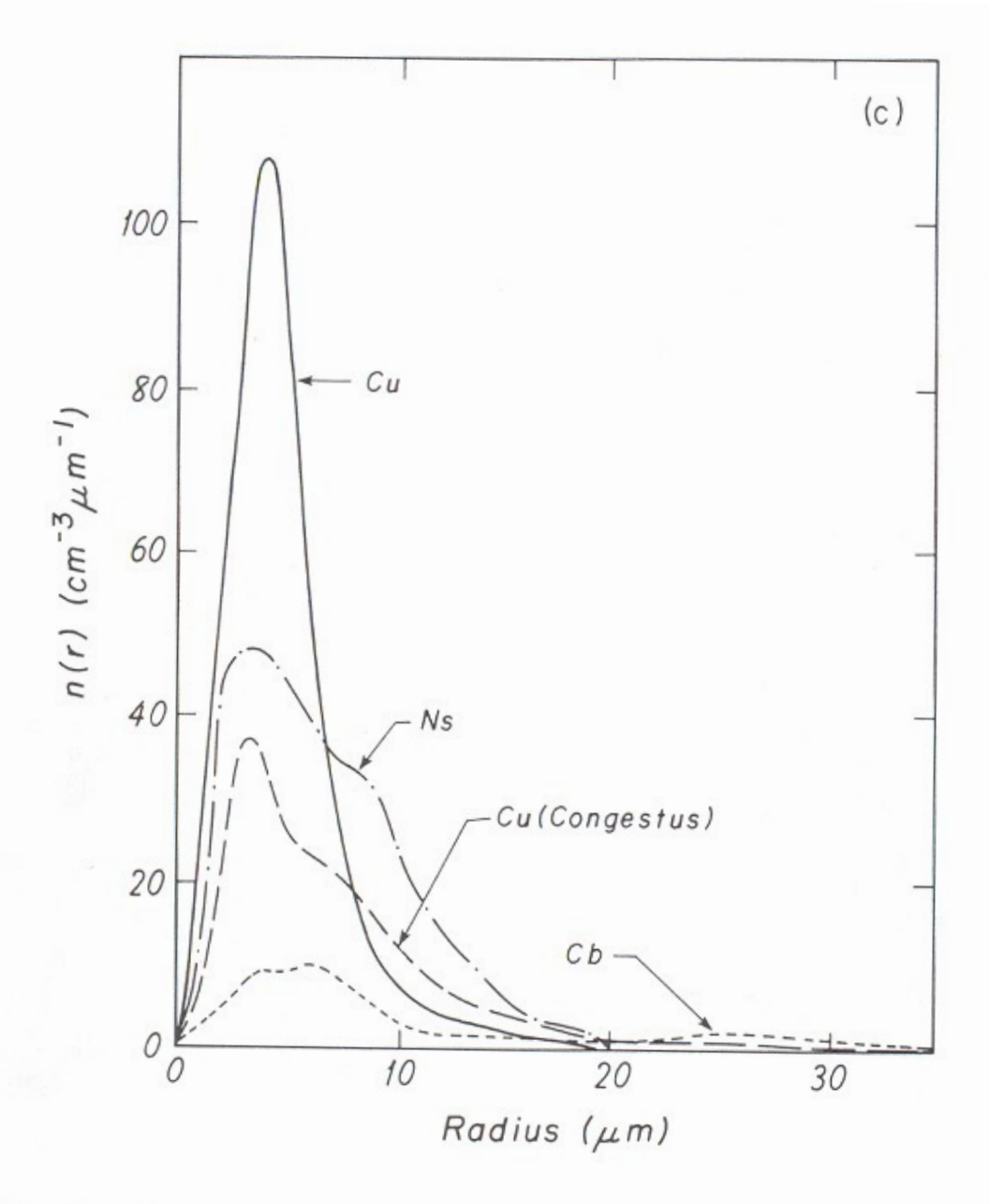


Fig. 4.10(c) Droplet size distributions of fair weather cumulus, nimbostratus, cumulus congestus, and cumulonimbus.

Liou, 1992

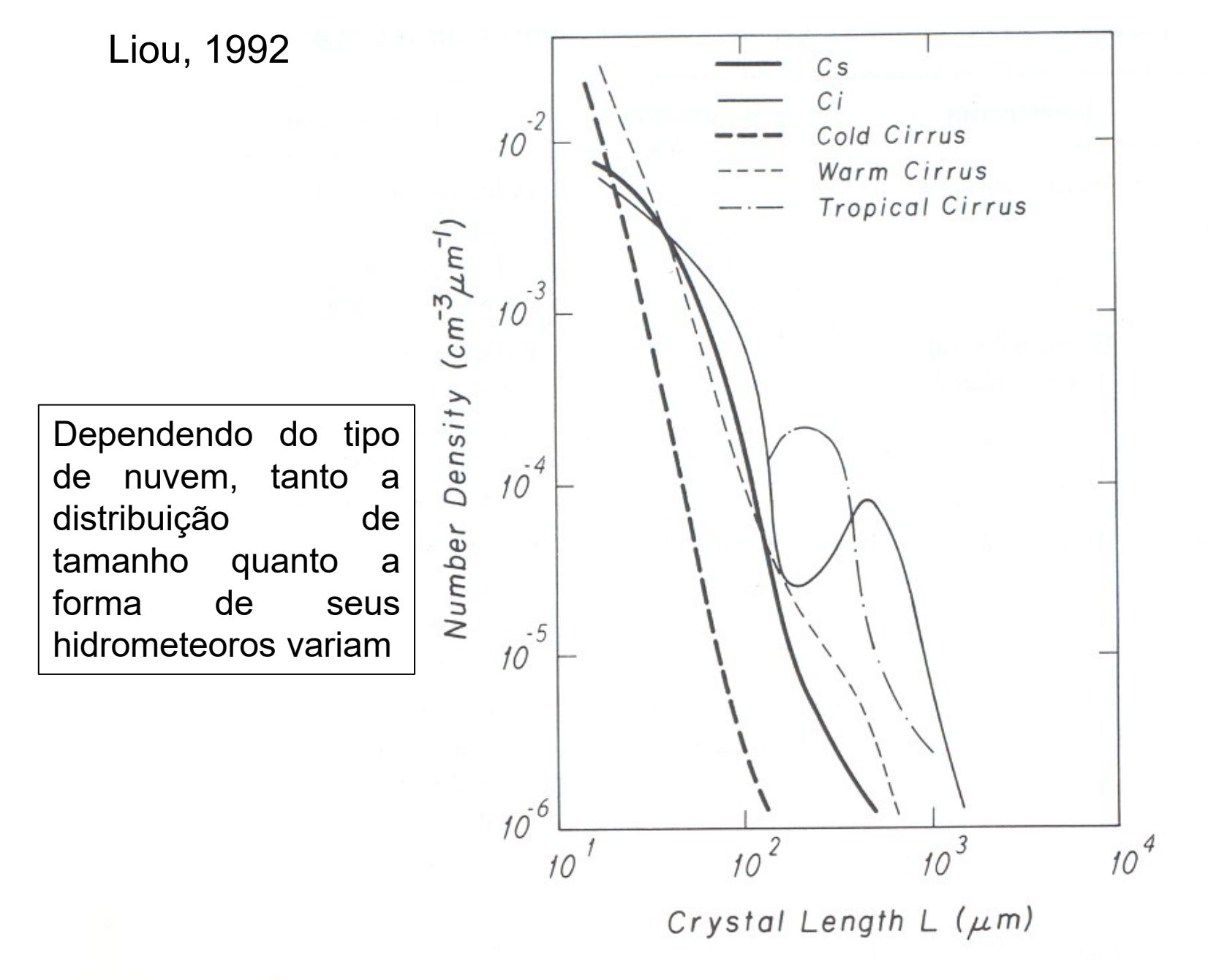
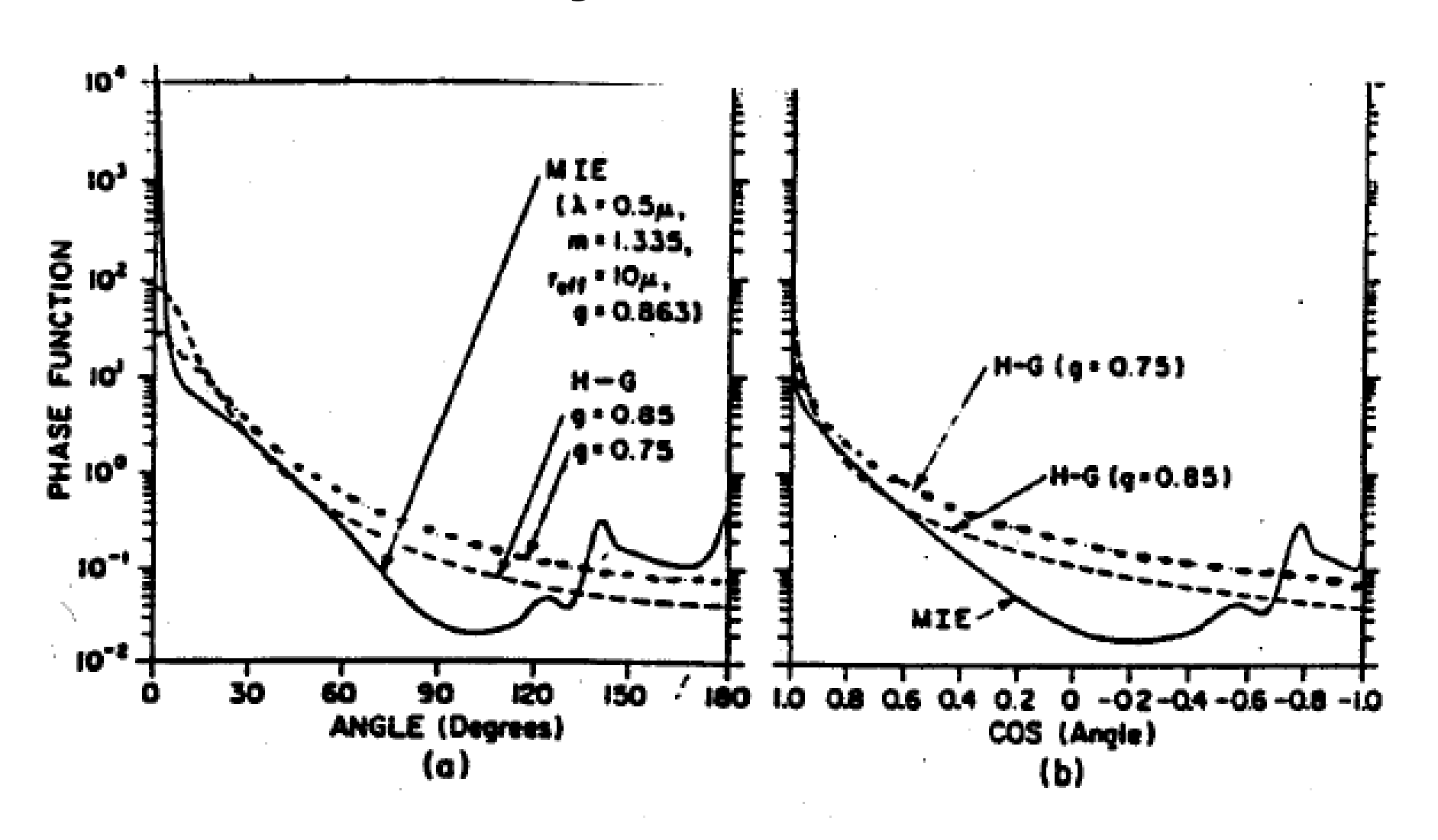
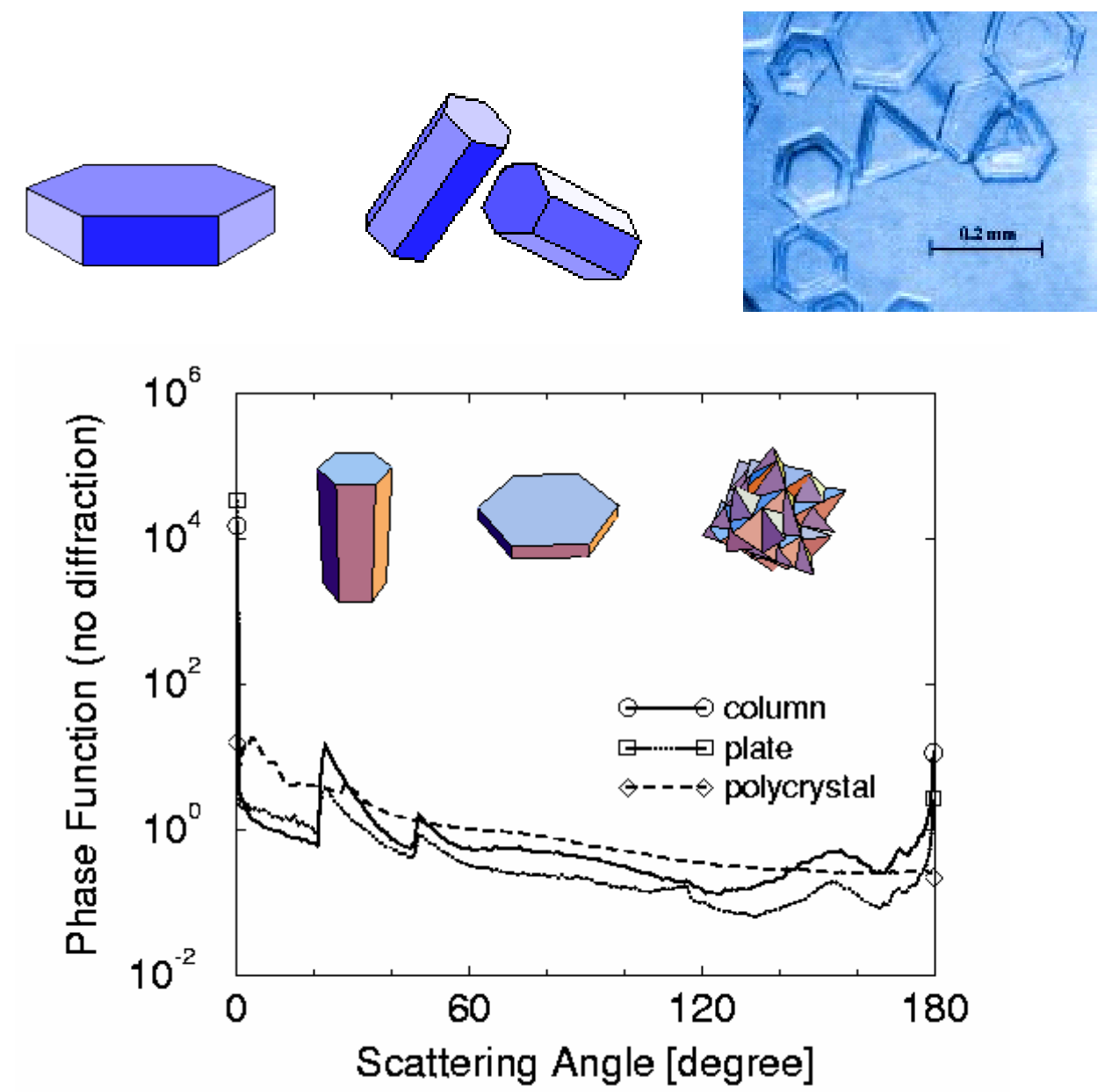


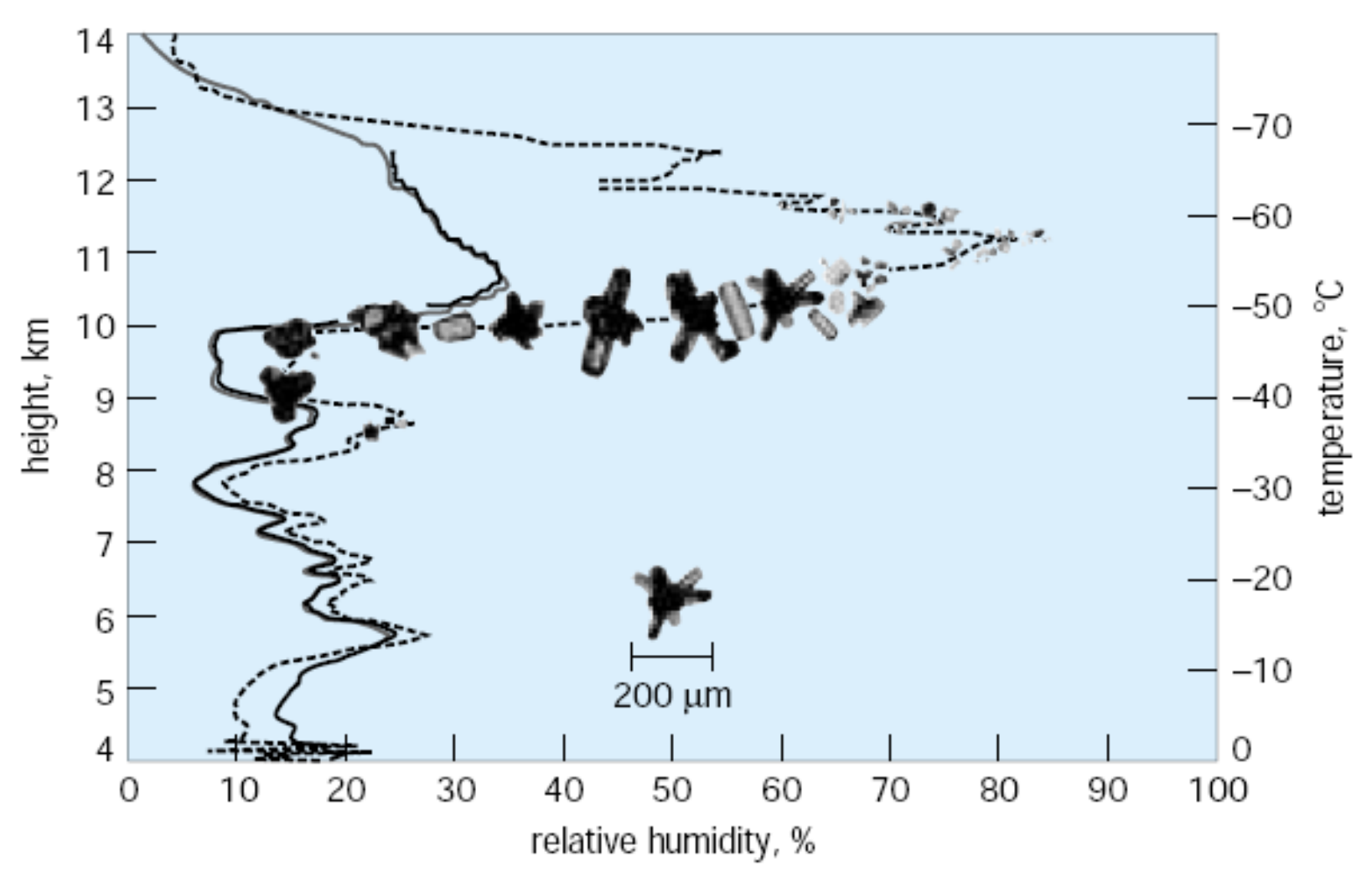
Fig. 4.12 Representative ice crystal size distributions for cirrus clouds.

Função de fase





Protat, 2005



Ice crystal size and shape as a function of height, temperature, and relative humidity captured by a replicator balloon sounding system in Marshall, Colorado, on November 10, 1994. The broken and solid lines denote the relative humidity measured by cryogenic hygrometers and Vaisala RS80 instruments, respectively. (*Graphic by Andrew Heymsfield, National Center for Atmospheric Research. data from K. N. Liou, An Introduction to Atmospheric Radiation, 2d ed., Academic Press, 2002*)

De aula anterior

$$\beta(\lambda, s) = \pi r^2 Q(\lambda, s) N(s)$$

Mede-se ou estima-se a densidade de água na nuvem, ρ_w :

$$\rho_w = N \frac{4\pi r^3}{3} \rho_l$$

onde ho_l é a densidade da água pura

 $\sim 1000 \text{ kg/m}^3$

Valores típicos de ρ_w : 0,1 a 1 g/m³

Coeficiente mássico de atenuação [m²/kg]

$$\beta(\lambda, s) = \pi r^2 Q(\lambda, s) \mathbb{V}(s) = \mathbb{k} \rho_w = \mathbb{k} \mathbb{V} \frac{4\pi r^3}{3} \rho_l$$

$$=>k=3\frac{Q}{4r\rho_l}$$

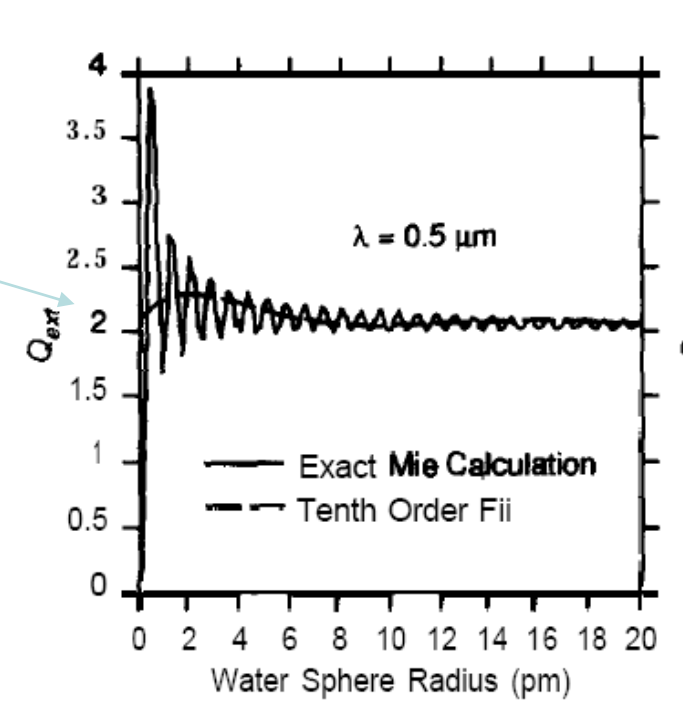
=> k é maior para raio menor

Para chuva, r ~ 1 mm

 $=> k \sim 1.5 \text{ m}^2/\text{kg}$

Para nevoeiro, r ~ 10 μm

 $=> k \sim 150 \text{ m}^2/\text{kg}$



Supondo $\rho_w \sim 0.1 \frac{\rm g}{\rm m^3}$ $\beta(\lambda,s)={\rm k}\rho_w$ quanto vale β em km⁻¹?

Chuva? Nevoeiro? • Supondo $\Delta z = 1 \text{ km}$

Quanto vale τ para gotas de chuva e para o nevoeiro?

E a transmitância direta em cada caso?

 Definindo o conteúdo integrado de água líquida L:

$$L = \int_{z_{base}}^{z_{topo}} \rho_w(z) dz$$

Como Q = 2, no visível:

$$\tau = \frac{3L}{2\rho_l r}$$

mas

Gotas de nuvens têm tamanhos diferentes, assim,

$$N = \int_0^\infty n(r)dr$$

Neste caso

$$\rho_{w} = \int_{0}^{\infty} n(r)\rho_{l} \frac{4\pi r^{3}}{3} dr$$

$$\beta = \int_{0}^{\infty} n(r)Q\pi r^{2} dr$$

Definindo-se o raio efetivo como:

$$r_{ef} = \frac{\int_0^\infty r^3 dr}{\int_0^\infty r^2 dr}$$

Tem-se

$$k = \frac{\beta}{\rho_w}$$

$$\sim \frac{2 \times 3}{4\rho_l r_{ef}} \sim \frac{3}{2\rho_l r_{ef}}$$

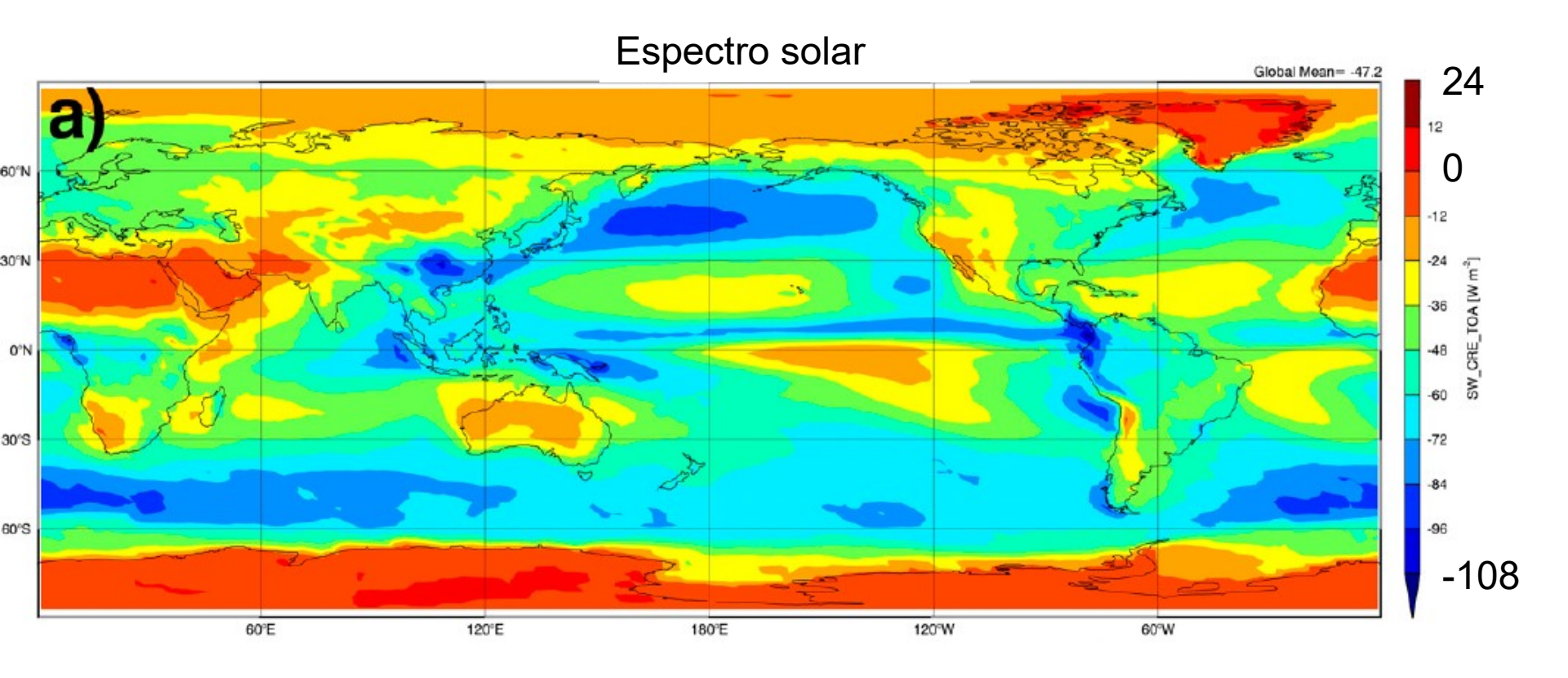
$$\tau \sim \frac{3L}{2\rho_l r_{ef}}$$

Média Anual Global do Efeito Radiativo de Nuvens (Wm⁻²) no topo da atmosfera estimada via satélite

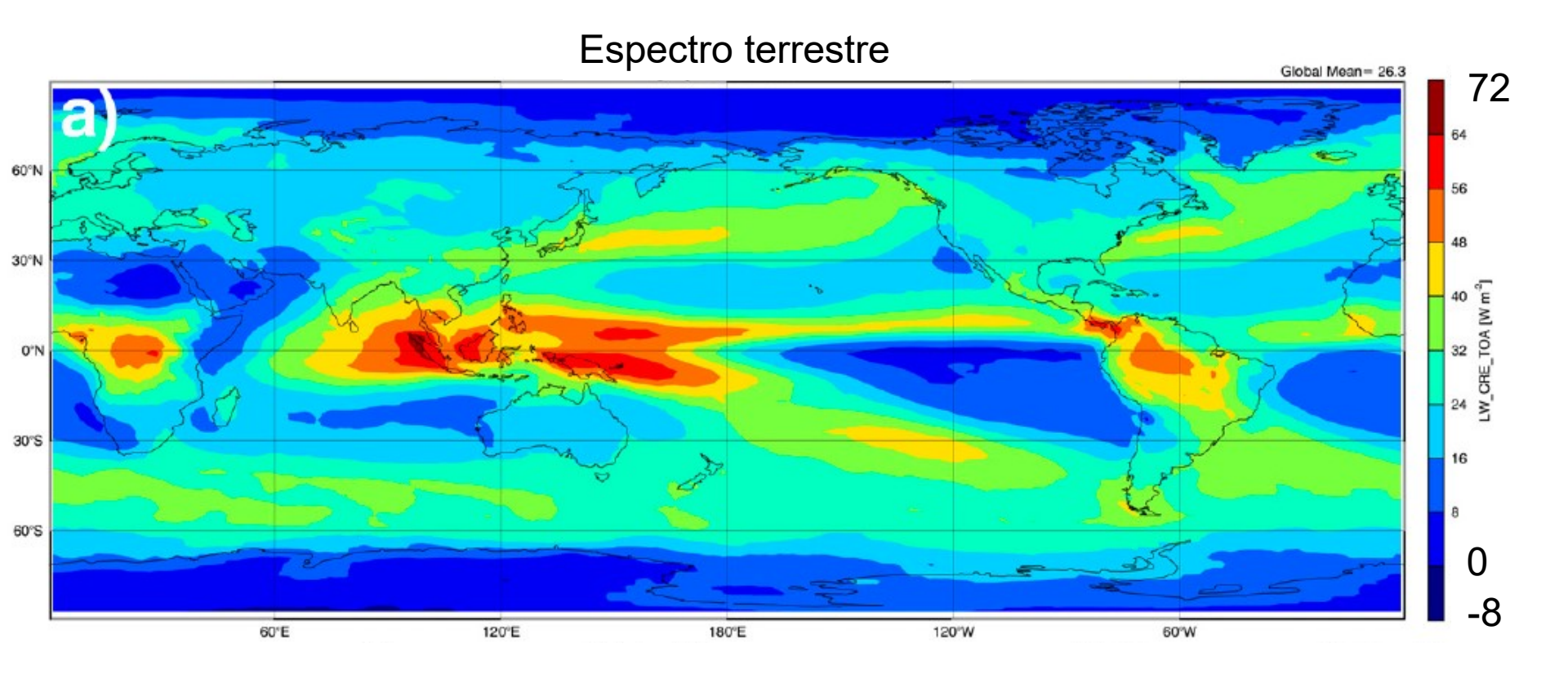
	LW CRF	SW CRF	Net CRF
ERBE: 1985 – 89	+29.1	- 47.6	-18.5
ScaRaB: 1994 – 95	+27.2	- 48.2	-21.0
CERES-EBAF	+26 ± 12	- 47 ± 24	-21 ± 16

(ERBE e SCARAB: http://www.lmd.polytechnique.fr/~Scarab/english/ECRF.htm)

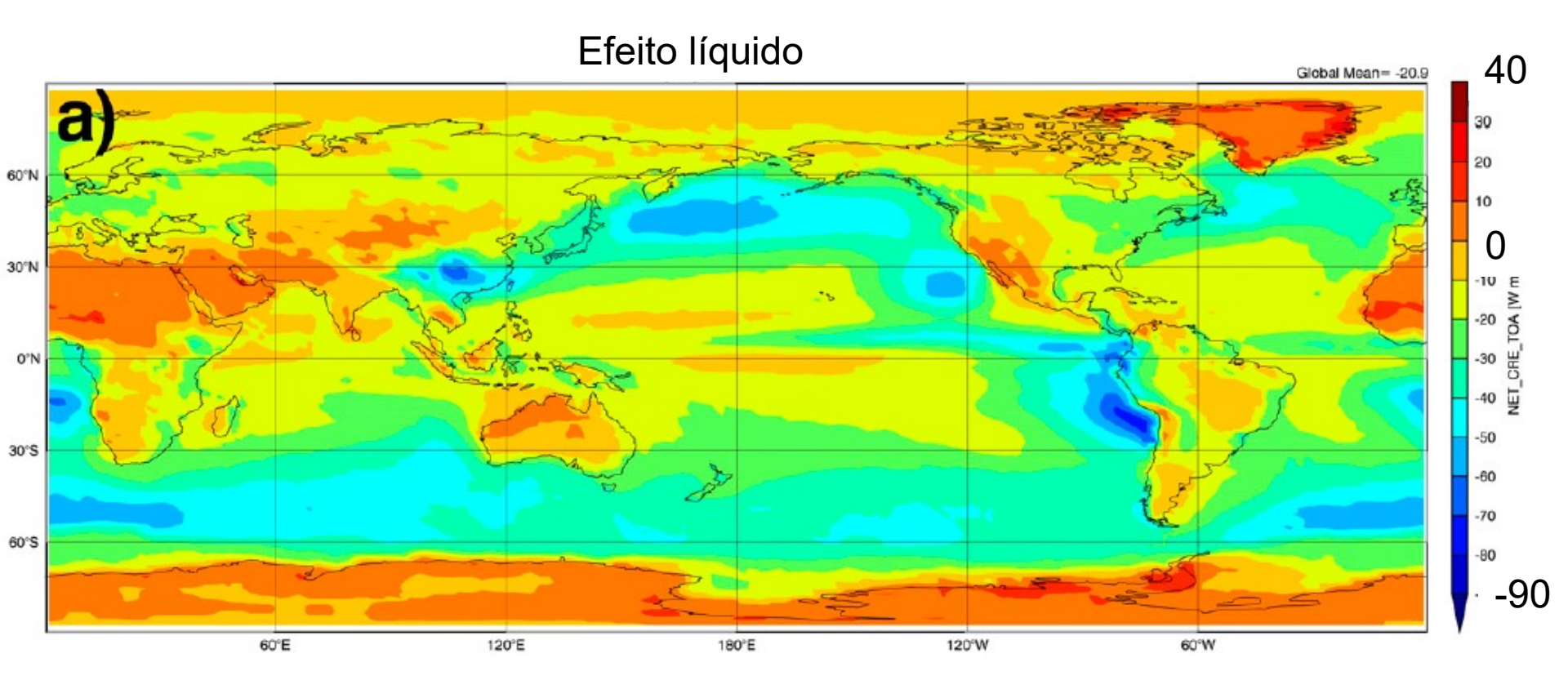
Alta variabilidade espacial



Alta variabilidade espacial



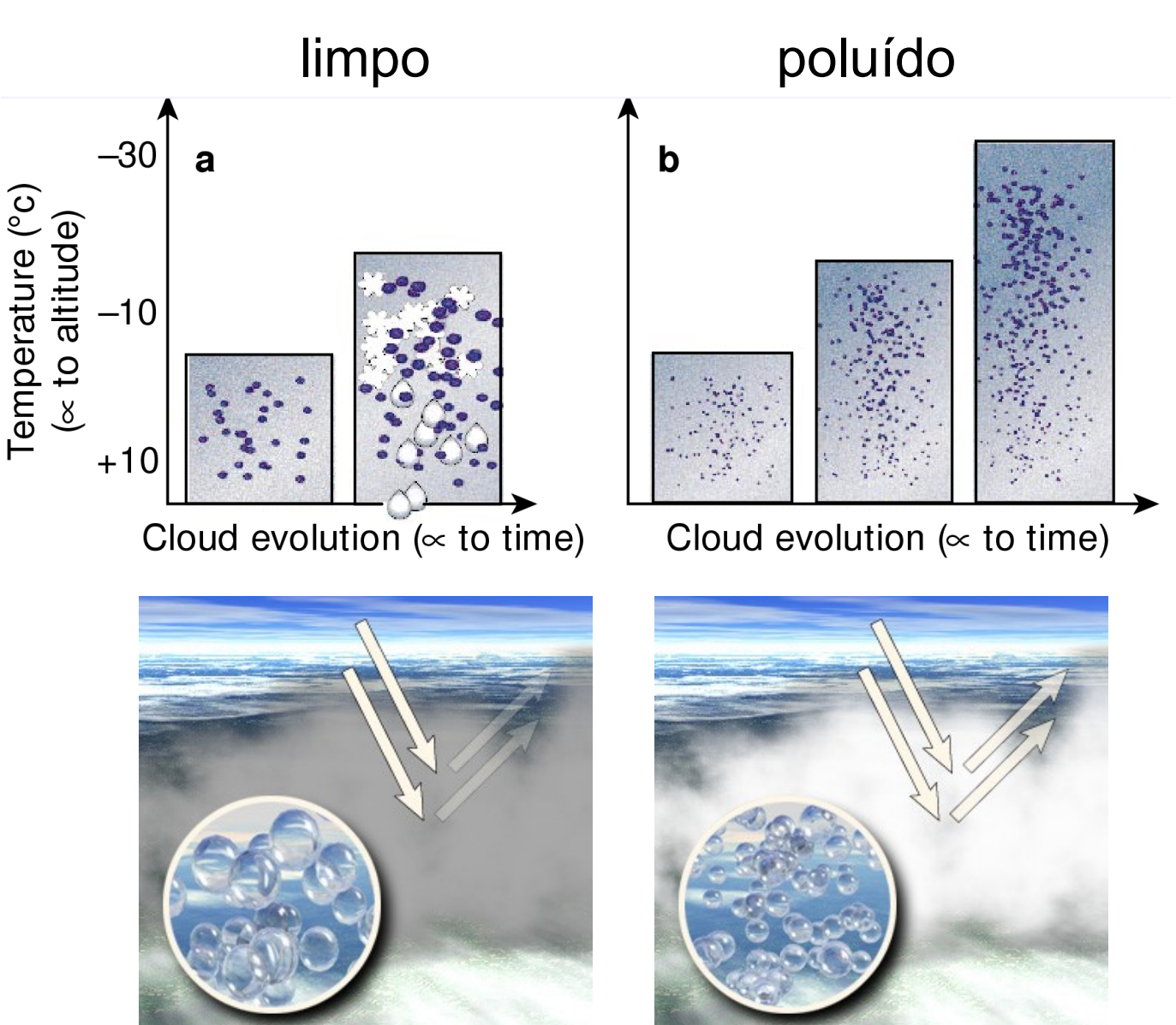
Alta variabilidade espacial



Aerossol x nuvens

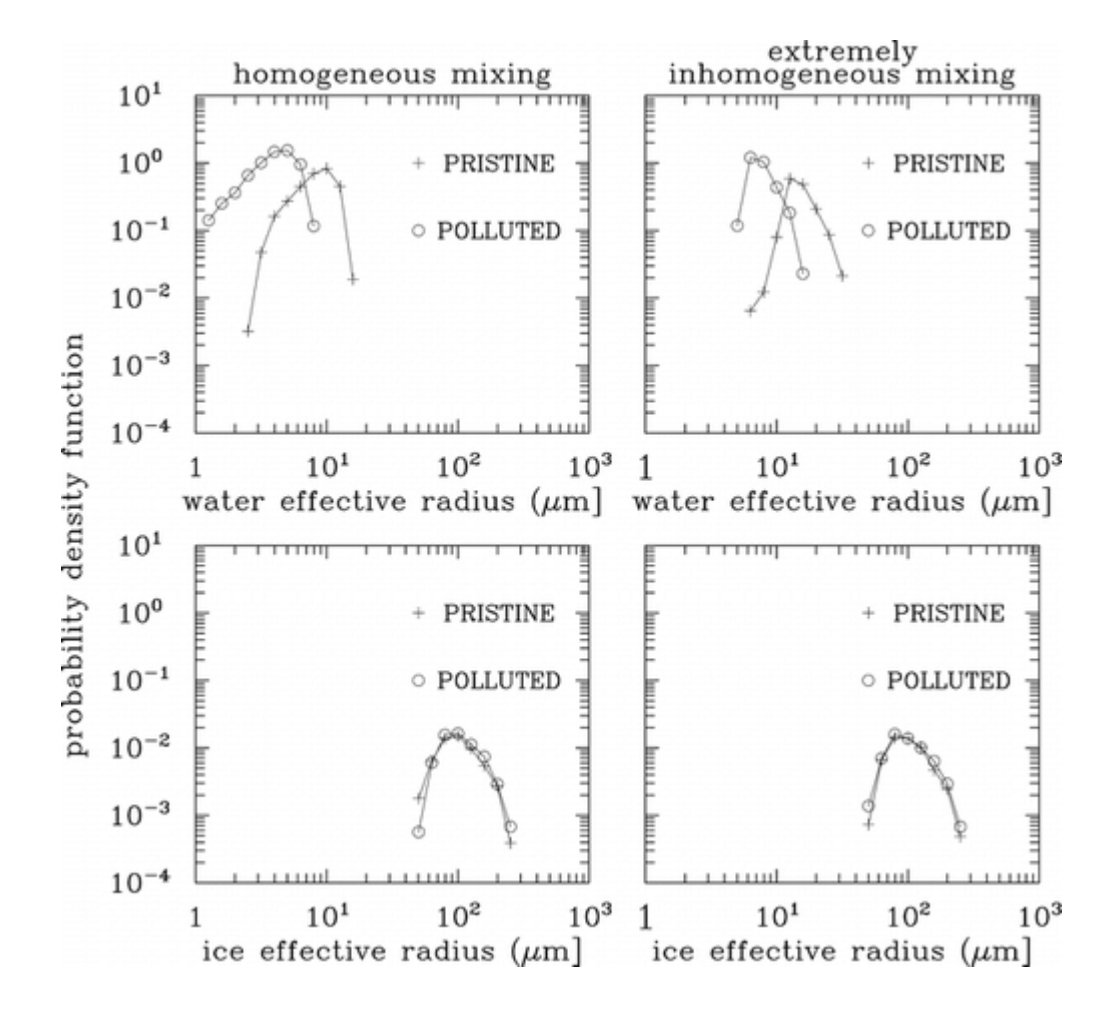
Propriedade	Aerossol	Nuvens
Região espectral	Radiação solar	radiação solar e terrestre
Vida média	~ 1 semana	minutos a dias
Distribuição geográfica	pode ser homogêr	nea heterogênea (localmente)
		(espalhamento lateral)
Profundidade óptica	< 10.0	> 100
Tipos	depende da fonte	água, gelo
		se em áreas poluídas, podem ter propriedades ópticas modificadas

Efeito indireto do aerossol



Kaufman et al., 2002

NASA earthobservatory



Grabowski (2006)

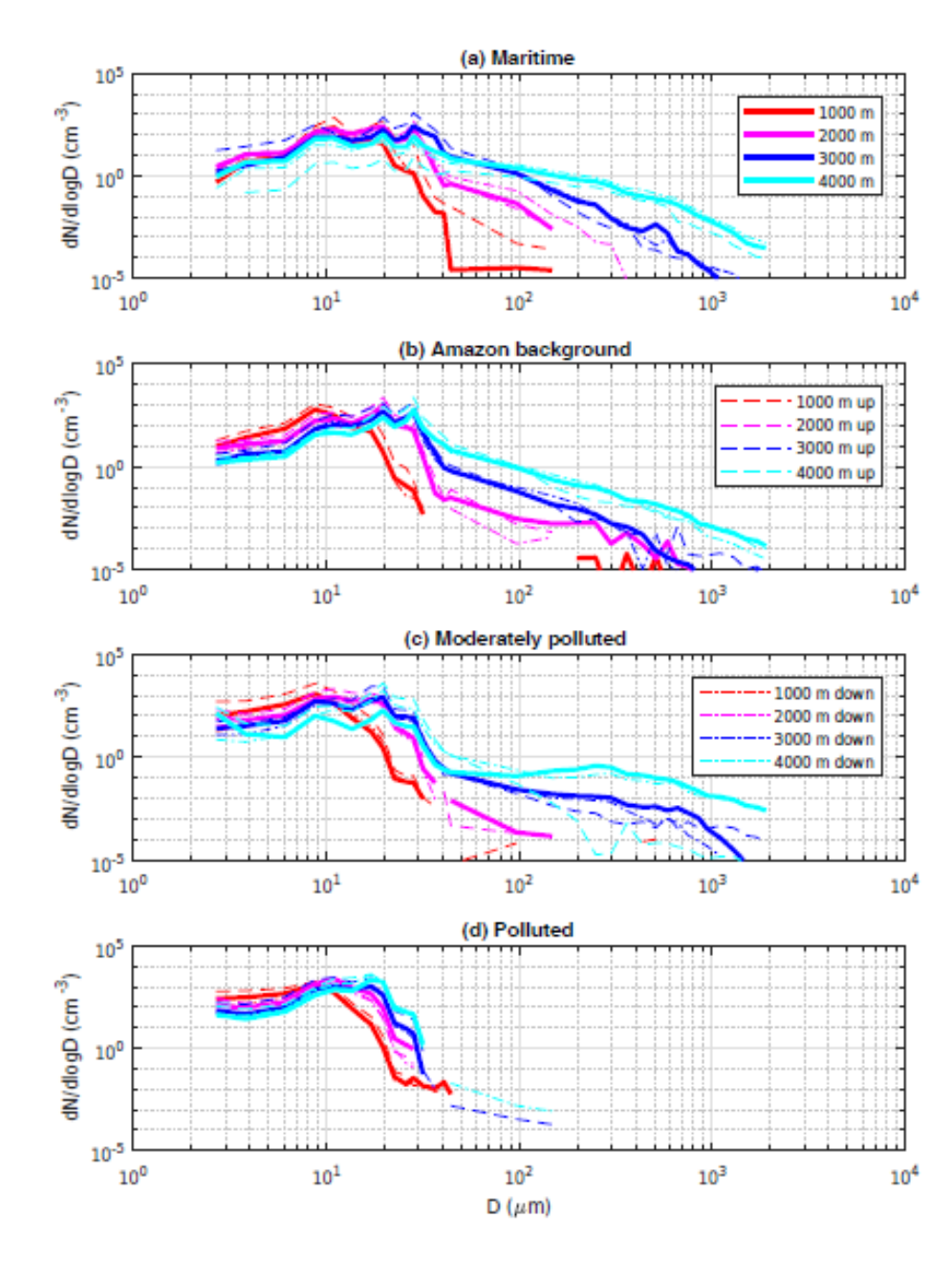
Marítimo: N ≤ 500 cm⁻³

Amazônia sem poluição: 500 cm⁻³ ≤ N ≤ 1000 cm⁻³

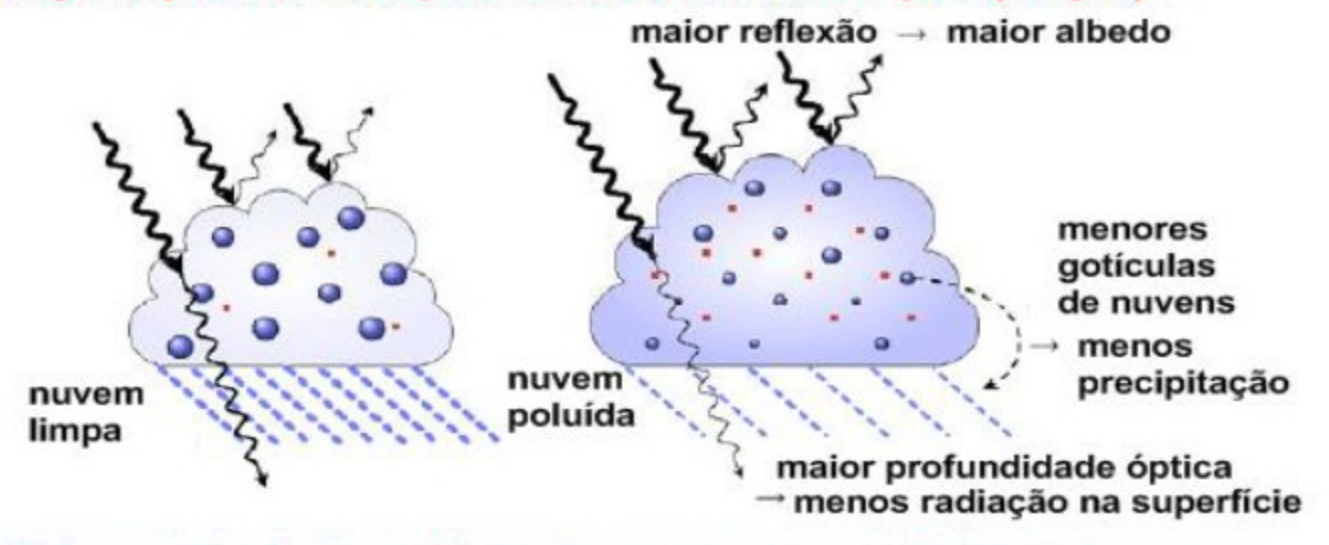
Moderadamente poluído: 1000 cm⁻³ ≤ N ≤ 3000 cm⁻³

Poluído: $N > 3000 \text{ cm}^{-3}$

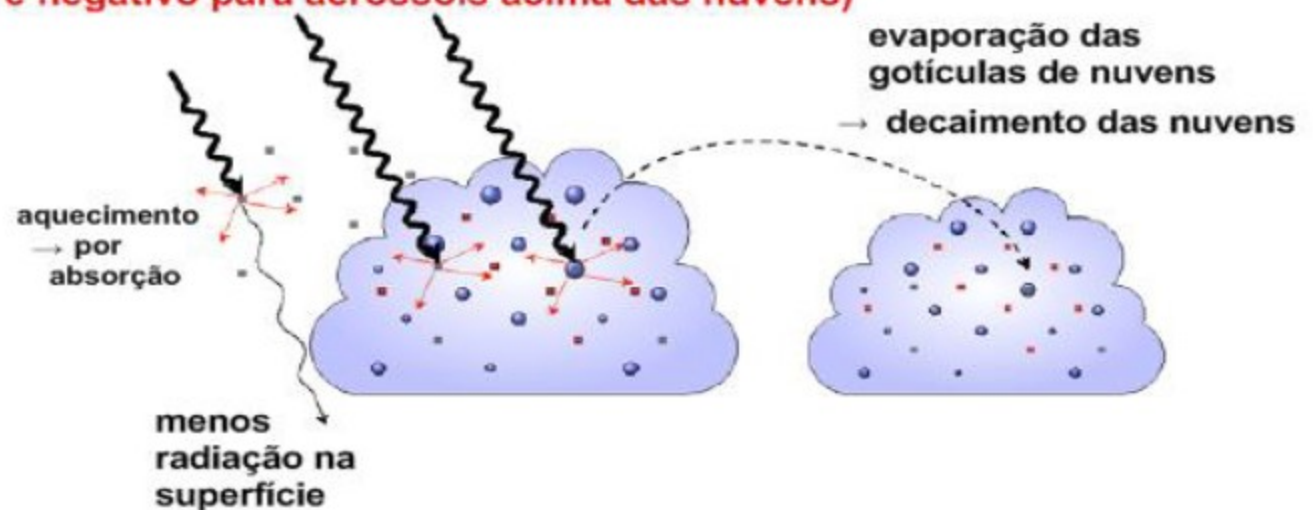
Cecchini et al. (2017)

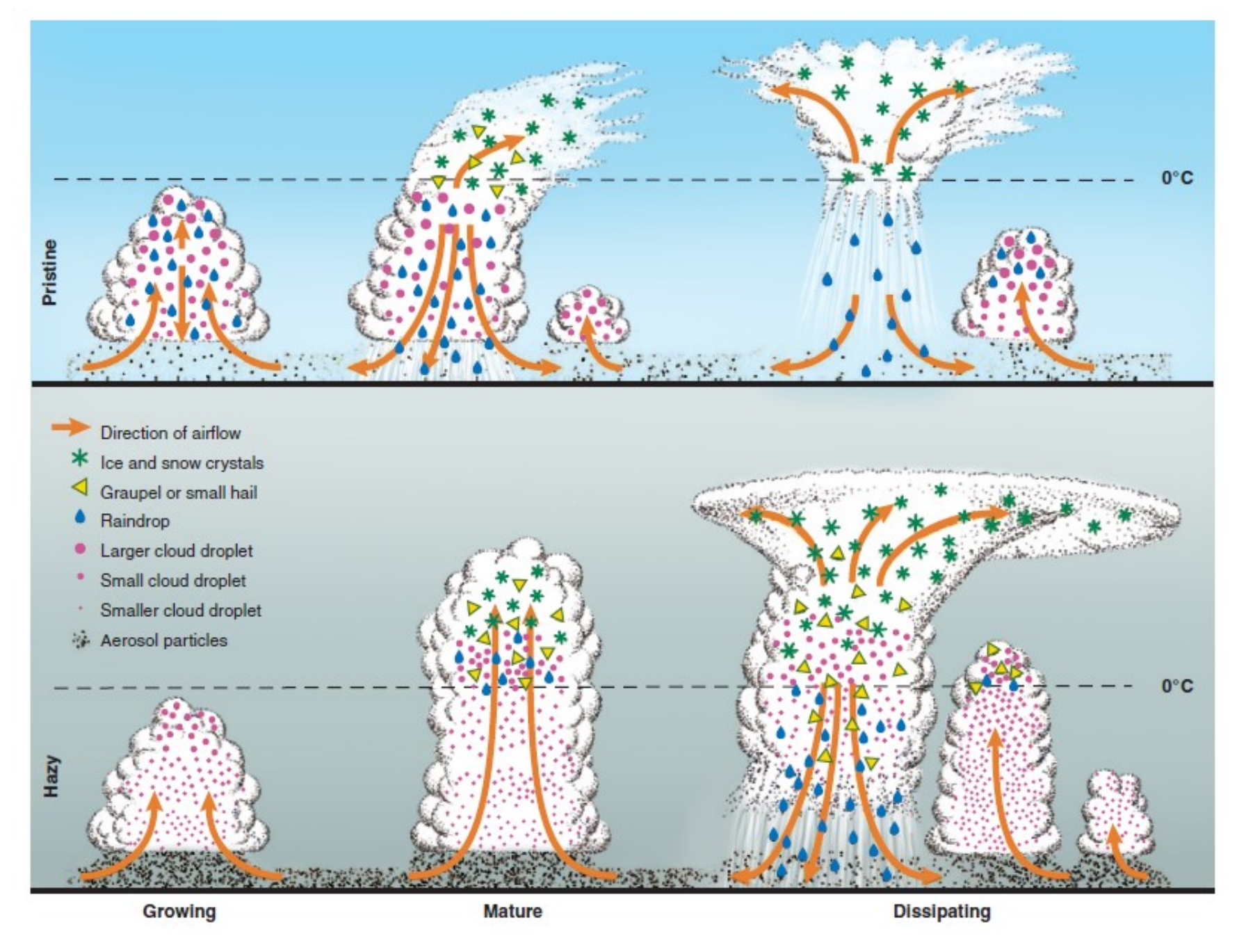


Efeito indireto sobre o tempo de vida e albedo das nuvens (forçante positiva no topo da atmosfera e menor precipitação)



Efeito semi-direto (forçante positiva para aerossóis dentro da nuvem e negativo para aerossóis acima das nuvens)





Rosenfeld et al. (2008)